

**5141**

МИНИСТЕРСТВО ОБРАЗОВАНИЯ И НАУКИ РОССИЙСКОЙ ФЕДЕРАЦИИ  
РЯЗАНСКИЙ ГОСУДАРСТВЕННЫЙ РАДИОТЕХНИЧЕСКИЙ УНИВЕРСИТЕТ

**ЭЛЕКТРОДИНАМИКА  
И РАСПРОСТРАНЕНИЕ  
РАДИОВОЛН**

Сборник задач

Рязань 2017

УДК 621.396

Электродинамика и распространение радиоволн: сборник задач/  
Рязан. гос. радиотехн. ун-т; сост.: А.И. Бакулин, Б.В. Каганенко,  
Г.Г. Юмашева. Рязань, 2017. 68 с.  
Приведены теоретические сведения и набор задач по основным  
разделам соответствующей программы.  
Предназначен для студентов второго курса и бакалавров направ-  
лений «Радиотехника» и «Инфокоммуникационные технологии и сис-  
темы связи» факультета радиотехники и телекоммуникаций.  
Ил. 88. Библиогр.: 3 назв.

### Электромагнитное поле, вектор Пойнтинга, плоская волна

Печатается по решению редакционно-издательского совета Ря-  
занского государственного радиотехнического университета.

Рецензент: кафедра радиоуправления и связи Рязанского государ-  
ственного радиотехнического университета (зав. кафедрой  
С.Н.Кириллов)

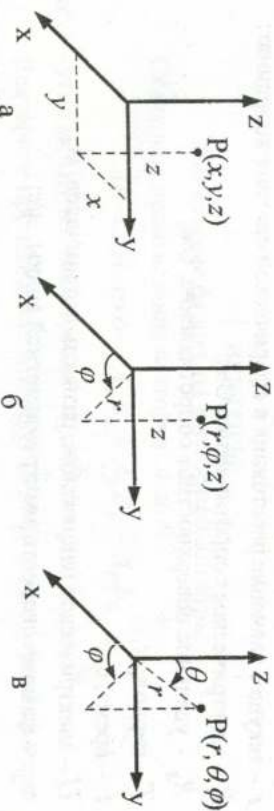


Рис. 1. Системы координат: а – декартова, б – цилиндрическая, в - сфе-  
рическая

### Обозначения величин

- Электродинамика и распространение радиоволн  
Составители: Бакулин Анатолий Иванович  
Каганенко Борис Васильевич  
Юмашева Галина Гавриловна
- Редактор Р.К. Манутова  
Корректор Н.А. Орлова
- Подписано в печать 28.09.17. Формат бумаги 60х84 1/16.  
Бумага писчая. Печать трафаретная. Усл. печ. л. 4,25.  
Тираж 150 экз. Заказ 3378.  
Рязанский государственный радиотехнический университет.  
390005, Рязань, ул. Гагарина, 59/1.  
Редакционно-издательский центр РГРТУ.
- $\vec{A}$  – векторный потенциал поля;  
 $\vec{B}$  – магнитная индукция, Тл;  
 $C$  – электрическая емкость,  $\Phi$ ;  
 $c$  – скорость света ( $3 \cdot 10^8$  м/с);  
 $\vec{D}$  – электрическое смещение, Кл/м<sup>2</sup>;  
 $\vec{E}$  – напряженность электрического поля, В/м;  
 $\vec{v}$  – электротягущая сила, В;  
 $f$  – частота, Гц;  
 $\vec{H}$  – напряженность магнитного поля, А/м;  
 $I$  – сила тока, А;

### ПРИНЯТЫЕ ОБОЗНАЧЕНИЯ

Обозначение координат и единичных векторов

$x, y, z$  – прямоугольные (декартовы) координаты;

$\hat{x}_0, \hat{y}_0, \hat{z}_0$  – единичные векторы в декартовых координатах;

$r, \varphi, z$  – цилиндрические координаты;

$\hat{r}_0, \hat{\varphi}_0, \hat{z}_0$  – единичные векторы в цилиндрических координатах;

$r, \theta, \varphi$  – сферические координаты;

$\hat{r}_0, \hat{\theta}_0, \hat{\varphi}_0$  – единичные векторы в сферических координатах.

- $\bar{\delta}$  – объемная плотность тока,  $\text{A}/\text{м}^2$ ;  
 $\bar{\delta}_s$  – поверхность плотность тока,  $\text{A}/\text{м}$ ;  
 $\bar{i}$  – линейный ток,  $\text{A}$ ;  
 $L$  – индуктивность,  $\text{Гн}$ ;  
 $M$  – взаимная индуктивность,  $\text{Гн}$ ;  
 $P$  – мощность,  $\text{Вт}$ ;  
 $Q$  – добродатность;  
 $\rho$  – объемная плотность заряда,  $\text{Кл}/\text{м}^3$ ;  
 $\rho_s$  – поверхностная плотность заряда,  $\text{Кл}/\text{м}^2$ ;  
 $\tau$  – линейная плотность заряда,  $\text{Кл}/\text{м}$ ;  
 $\bar{r}$  – радиус-вектор;  
 $r$  – текущее значение расстояния в сферической системе координат;
- $R$  – электрическое сопротивление,  $\text{Ом}$ ;  
 $R_s$  – удельное поверхностное сопротивление,  $\text{Ом}$ ;  
 $T$  – период,  $\text{s}$ ;  
 $t$  – время,  $\text{s}$ ;  
 $U$  – электрическое напряжение, разность потенциалов,  $\text{В}$ ;  
 $v_\phi$  – фазовая скорость электромагнитной волны,  $\text{м}/\text{с}$ ;  
 $v_{cp}$  – групповая скорость электромагнитной волны,  $\text{м}/\text{с}$ ;  
 $W$  – энергия,  $\text{Дж}$ ;  
 $Z_e$  – волновое сопротивление,  $\text{Ом}$ ;  
 $Z_c$  – характеристическое сопротивление,  $\text{Ом}$ ;  
 $\alpha$  – коэффициент затухания,  $1/\text{м}$ ;  
 $\beta$  – коэффициент фазы,  $1/\text{м}$ ;  
 $\sigma$  – удельная проводимость,  $\text{См}/\text{м}$ ;  
 $\epsilon$  – диэлектрическая проницаемость (относительная);  
 $\epsilon_0$  – диэлектрическая постоянная ( $1/120 \pi c$ )

$$\approx 8,854 \cdot 10^{-12} \approx \frac{10^{-9}}{36\pi} \Phi/\text{м};$$

- $\epsilon_a$  – абсолютная диэлектрическая проницаемость,  $\Phi/\text{м}$ ;  
 $\lambda$  – длина волны,  $\text{м}$ ;  
 $\lambda_g$  – длина волны в волноводе,  $\text{м}$ ;

$\mu$  – магнитная проницаемость (относительная);  
 $\mu_0$  – магнитная постоянная ( $120\pi/c$ ),  $\text{Гн}/\text{м} = 1,2566 \cdot 10^{-6} \text{ Гн}/\text{м}$ ;

$\mu_a$  – абсолютная магнитная проницаемость,  $\text{Гн}/\text{м}$ ;

$k$  – коэффициент распространения волны,  $1/\text{м}$ ;

$\bar{P}$  – вектор Пойнтинга,  $\text{Вт}/\text{м}^2$ ;

$\Phi$  – магнитный поток,  $\text{Вб}$ ;

$\varphi$  – потенциал (скалярный),  $\text{В}$ ;

$\psi$  – магнитное потокосцепление,  $\text{Вб}$ ;

$\omega$  – круговая частота,  $\text{рад}/\text{с}$ ;

$R$  – коэффициент отражения;

$T$  – коэффициент прохождения (преломления).

## 1. ВЕКТОРЫ

### Некоторые формулы векторной алгебры

Скалярное произведение векторов  $\bar{A}$  и  $\bar{B}$ :

$$[\bar{A}\bar{B}] = \bar{A} \times \bar{B} = \bar{n}_0 AB \sin \alpha =$$

$$= \bar{x}_0 (A_y B_z - A_z B_y) + \bar{y}_0 (A_z B_x - A_x B_z) + \bar{z}_0 (A_x B_y - A_y B_x),$$

где  $\alpha$  – угол между направлениями  $\bar{A}$  и  $\bar{B}$ .

Векторное произведение векторов  $\bar{A}$  и  $\bar{B}$  в декартовой системе

координат:

$$[\bar{A}\bar{B}] = \bar{A} \times \bar{B} = \bar{n}_0 AB \sin \alpha =$$

$$= \bar{x}_0 (A_y B_z - A_z B_y) + \bar{y}_0 (A_z B_x - A_x B_z) + \bar{z}_0 (A_x B_y - A_y B_x),$$

где  $\bar{n}_0$  – единичный вектор нормали к плоскости векторов  $\bar{A}$  и  $\bar{B}$ , причем  $\bar{A}$ ,  $\bar{B}$  и  $\bar{n}_0$  образуют «правую тройку» векторов.

В краткой записи

$$[\bar{A}\bar{B}] = \begin{vmatrix} \bar{x}_0 & \bar{y}_0 & \bar{z}_0 \\ A_x & A_y & A_z \\ B_x & B_y & B_z \end{vmatrix}$$

Векторное произведение некоммутативно  $[\bar{B}\bar{A}] = - [\bar{A}\bar{B}]$ .

Векторно-скалярное (смешанное) произведение  $\bar{A}$ ,  $\bar{B}$  и  $\bar{C}$ :

- определение  
– формула для вычисления

В декартовой системе координат

$$\operatorname{div} \vec{A} = \frac{\partial A_x}{\partial x} + \frac{\partial A_y}{\partial y} + \frac{\partial A_z}{\partial z};$$

в цилиндрической системе координат

$$\operatorname{div} \vec{A} = \frac{1}{r} \frac{\partial}{\partial r} (r A_r) + \frac{1}{r} \frac{\partial A_\theta}{\partial \theta} + \frac{\partial A_z}{\partial z};$$

Двойное векторное произведение векторов  $\vec{A}$ ,  $\vec{B}$  и  $\vec{C}$ :

$$[\vec{A} | \vec{B} | \vec{C}] = \vec{B} (\vec{A} \vec{C}) - \vec{C} (\vec{A} \vec{B}).$$

### Операции векторного анализа

Для математического описания физического состояния точек пространства вводят понятия скалярных и векторных полей.

Одной из характеристик скалярного поля  $\varphi$  является градиент ( $\operatorname{grad} \varphi$ ) – вектор, показывающий величину и направление наибольшего возрастания скалярного поля.

Направление градиента всегда перпендикулярно к эквипотенциальной поверхности (поверхности равного уровня) и параллельно касательной к силовой линии поля в данной точке.

В декартовой системе координат (д.с.к.) (рис. 1, а)

$$\operatorname{grad} \varphi = \frac{\partial \varphi}{\partial x} \vec{x}_0 + \frac{\partial \varphi}{\partial y} \vec{y}_0 + \frac{\partial \varphi}{\partial z} \vec{z}_0.$$

В цилиндрической системе координат (ц.с.к.) (рис. 1, б)

$$\operatorname{grad} \varphi = \frac{\partial \varphi}{\partial r} \vec{r}_0 + \frac{1}{r} \frac{\partial \varphi}{\partial \theta} \vec{\theta}_0 + \frac{\partial \varphi}{\partial z} \vec{z}_0.$$

В сферической системе координат (с.с.к.) (рис. 1, в)

$$\operatorname{grad} \varphi = \frac{\partial \varphi}{\partial r} \vec{r}_0 + \frac{1}{r} \frac{\partial \varphi}{\partial \theta} \vec{\theta}_0 + \frac{1}{r \sin \theta} \frac{\partial \varphi}{\partial \varphi} \vec{\varphi}_0.$$

(Здесь « $\varphi$ » в числителе обозначает потенциал, а « $\varphi$ » в знаменателе – угловую координату в д.с.к. и с.с.к.)

Дифференциальными характеристиками векторного поля  $\vec{A}$  являются скалярная величина – дивергенция ( $\operatorname{div} \vec{A}$ ) и векторная величина – ротор ( $\operatorname{rot} \vec{A}$ ).

Значение дивергенции равно плотности источников рассматриваемого поля в заданной точке пространства.

Дивергенцию векторного поля  $\vec{A}$  вычисляют путем дифференцирования его проекций по соответствующим координатам.

$$[\vec{A} | \vec{B} | \vec{C}] = \begin{vmatrix} A_x & A_y & A_z \\ B_x & B_y & B_z \\ C_x & C_y & C_z \end{vmatrix}$$

В сферической системе координат

$$\operatorname{div} \vec{A} = \frac{1}{r^2} \left[ \frac{\partial}{\partial r} (r^2 A_r) \right] + \frac{1}{r \sin \theta} \frac{\partial A_\theta}{\partial \theta} + \frac{1}{r \sin \theta} \left[ \frac{\partial}{\partial \theta} (A_\theta \sin \theta) \right].$$

Еще одной характеристикой векторного поля является ротор. В декартовой системе координат

$$\operatorname{rot} \vec{A} = \begin{vmatrix} \vec{x}_0 & \vec{y}_0 & \vec{z}_0 \\ \frac{\partial}{\partial x} & \frac{\partial}{\partial y} & \frac{\partial}{\partial z} \\ A_x & A_y & A_z \end{vmatrix} =$$

$$= \vec{x}_0 \left( \frac{\partial A_z}{\partial y} - \frac{\partial A_y}{\partial z} \right) + \vec{y}_0 \left( \frac{\partial A_x}{\partial z} - \frac{\partial A_z}{\partial x} \right) + \vec{z}_0 \left( \frac{\partial A_y}{\partial x} - \frac{\partial A_x}{\partial y} \right).$$

В цилиндрической системе координат

$$\operatorname{rot} \vec{A} = \left( \frac{1}{r} \frac{\partial A_z}{\partial \theta} - \frac{\partial A_\theta}{\partial z} \right) \vec{r}_0 + \left( \frac{\partial A_r}{\partial z} - \frac{\partial A_z}{\partial r} \right) \vec{\theta}_0 + \frac{1}{r} \left[ \frac{\partial (r A_\theta)}{\partial r} - \frac{\partial A_r}{\partial \theta} \right] \vec{\varphi}_0.$$

В сферической системе координат

$$\operatorname{rot} \vec{A} = \frac{1}{r \sin \theta} \left[ \frac{\partial (A_\theta \sin \theta)}{\partial \theta} - \frac{\partial A_\theta}{\partial \varphi} \right] \vec{r}_0 + \frac{1}{r} \left[ \frac{1}{\sin \theta} \frac{\partial A_r}{\partial \varphi} - \frac{\partial (r A_\theta)}{\partial r} \right] \vec{\theta}_0 + \frac{1}{r} \left[ \frac{\partial (r A_\theta)}{\partial r} - \frac{\partial A_r}{\partial \theta} \right] \vec{\varphi}_0.$$

Дивергенция произведения скаляра и вектора

$$\operatorname{div} (\varphi \vec{A}) = \varphi \operatorname{div} \vec{A} - \vec{A} \operatorname{grad} \varphi.$$

Дивергенция векторного произведения

$$\operatorname{div} [\vec{A} \vec{B}] = \vec{B} \operatorname{rot} \vec{A} - \vec{A} \operatorname{rot} \vec{B}.$$

Если  $\operatorname{rot} \vec{A} = 0$ , то поле является потенциальным. Векторное поле  $\vec{A}$ , удовлетворяющее во всех точках рассматриваемой области условию  $\operatorname{div} \vec{A} = 0$ , называется соленоидальным.

Соответствующими интегральными характеристиками векторного поля являются поток вектора через замкнутую поверхность и циркуляция вектора по контуру.

Потоком вектора  $\vec{A}$  сквозь замкнутую поверхность  $S$  называется интеграл вида  $\Pi = \int_S \vec{A} d\vec{s}$ .

Циркуляцией вектора  $\vec{A}$  по замкнутому контуру  $L$  независимо от физического смысла вектора  $\vec{A}$  называется интеграл вида  $I = \int_L \vec{A} d\vec{l}$ .

Поток и циркуляция – величины скалярные. В частном случае, когда вектор  $\vec{A}$  имеет смысл вектора силы, указанный интеграл выражает работу силы по контуру  $L$ .

Дифференциальные операции со скалярными и векторными полями удобно записывать с помощью оператора Гамильтона  $\nabla$ . Применительно к скалярному полю  $\nabla \varphi = \operatorname{grad} \varphi$ , относительно векторного поля  $\nabla \vec{A} = \operatorname{div} \vec{A}$ ,  $[\nabla \vec{A}] = \operatorname{rot} \vec{A}$ . Ротор градиента  $[\nabla(\nabla \varphi)] = 0$ . Дивергенция ротора  $\nabla[\nabla \vec{A}] = 0$ .

Из дифференциальных операций второго порядка в электродинамике часто используется оператор Лапласа  $\Delta$ . Для скалярного поля  $\Delta \varphi = \nabla^2 \varphi = \operatorname{div} \operatorname{grad} \varphi$ , для векторного поля  $\nabla^2 \vec{A} = \operatorname{grad} \operatorname{div} \vec{A} - \operatorname{rot} \operatorname{rot} \vec{A}$ .

Оператор Лапласа в различных координатных системах записывается следующим образом.

В декартовой системе:

$$\nabla^2 \varphi = \frac{\partial^2 \varphi}{\partial x^2} + \frac{\partial^2 \varphi}{\partial y^2} + \frac{\partial^2 \varphi}{\partial z^2};$$

в цилиндрической системе координат:

$$\nabla^2 \varphi = \frac{1}{r} \frac{\partial}{\partial r} \left( r \frac{\partial \varphi}{\partial r} \right) + \frac{1}{r^2} \frac{\partial^2 \varphi}{\partial \theta^2} + \frac{\partial^2 \varphi}{\partial z^2};$$

в сферической системе координат:

$$\nabla^2 \varphi = \frac{1}{r^2} \frac{\partial}{\partial r} \left( r^2 \frac{\partial \varphi}{\partial r} \right) + \frac{1}{r^2 \sin \theta} \frac{\partial}{\partial \theta} \left( \sin \theta \frac{\partial \varphi}{\partial \theta} \right) + \frac{1}{r^2 \sin^2 \theta} \frac{\partial^2 \varphi}{\partial \varphi^2}.$$

Графически векторные поля изображают с помощью силовых линий. В каждой точке силовой линии вектор поля касательен к ней. Густота силовых линий соответствует интенсивности поля. Дифференциальное уравнение силовых линий в декартовой системе координат имеет вид:

$$\frac{dx}{A_x} = \frac{dy}{A_y} = \frac{dz}{A_z}.$$

Для решения задач векторного анализа часто бывает удобно пользоваться формулой Грина

$$\int_L \vec{A} d\vec{l} = \int_S \left( \frac{\partial A_y}{\partial x} - \frac{\partial A_x}{\partial y} \right) dx dy,$$

$$\text{теоремой Стокса } \int_L \vec{A} d\vec{l} = \int_S \operatorname{rot} \vec{A} d\vec{s},$$

$$\text{теоремой Остроградского – Гаусса } \int_S \vec{A} d\vec{s} = \int_V \operatorname{div} \vec{A} dv.$$

### Задачи

1.1. Изобразить на координатной плоскости XOY вектор  $\vec{A} = 2\vec{x}_0 - 6\vec{y}_0$ .

1.2. Показать, что векторы  $\vec{A} = 4\vec{x}_0 - 2\vec{y}_0 - \vec{z}_0$  и

$\vec{B} = \vec{x}_0 + 4\vec{y}_0 - 4\vec{z}_0$  ортогональны. Найти их сумму и разность.

1.3. Найти сумму и разность двух векторов  $\vec{A}$  и  $\vec{B}$ . Показать, что эти векторы ортогональны.  $\vec{A} = 4\vec{x}_0 + 2\vec{y}_0 - 2\vec{z}_0$ ;

$$\vec{B} = 2\vec{x}_0 - 5\vec{y}_0 - \vec{z}_0.$$

1.4. Заданы векторы  $\vec{A} = 2\vec{x}_0 + 4\vec{y}_0$ ;  $\vec{B} = 6\vec{y}_0 - 4\vec{z}_0$ . Найти наименьший угол между ними.

Указание: 1) через векторное произведение;  
2) через скалярное произведение.

1.5. Найти скалярное, векторное произведения и угол между

векторами  $\vec{A}$  и  $\vec{B}$ :  $\vec{A} = 2\vec{x}_0 - 3\vec{y}_0$ ;  $\vec{B} = -2\vec{x}_0 - 3\vec{y}_0$ .

1.6. Найти уравнение линии уровня, проходящей через точку  $M(2; -1)$  для скалярного поля  $f(x, y) = 4x^2 - y^2$ .

1.7. Найти уравнение силовой линии вектора  $\vec{A} = \frac{y}{a}\vec{x}_0 + \frac{x}{a}\vec{y}_0$ .

1.8. Найти уравнение силовой линии вектора  $\vec{A} = -\frac{y}{a}\vec{x}_0 + \frac{x}{a}\vec{y}_0$ .

### Градиент функции

1.9. Найти градиент потенциала  $\varphi = \sqrt{x^2 + y^2 + z^2}$ .

1.10. Задан потенциал  $\varphi = \frac{1}{\sqrt{x^2 + y^2 + z^2}}$ . Найти градиент этого потенциала. Определить форму эквипотенциальных поверхностей.

1.11. Задано скалярное поле  $\varphi = 3x^2 y \cos z - 2z^2$ . Найти  $\operatorname{grad} \varphi$ .

1.12. Задано скалярное поле  $\varphi = 7x^3 y^2 \sin z - 3z^2$ . Найти  $\operatorname{grad} \varphi$  в точке  $M(2, 7; 2, 2)$ .

1.14. Найти градиент скалярного произведения векторов  $\vec{A} = 3\vec{x}_0 + 4\vec{y}_0 - 5\vec{z}_0$  и  $\vec{r} = \vec{x} \cdot \vec{x}_0 + \vec{y} \cdot \vec{y}_0 + \vec{z} \cdot \vec{z}_0$ .

1.15. Найти наибольшую скорость изменения поля, заданного функцией  $\varphi = x^2 + 4y^2 + 9z^2 - 1$ , в точке  $M(1; -1; 0,5)$ .

1.16. Найти наибольшую скорость изменения поля, заданного функцией  $\varphi = x^3 - 4x^2 y + 5z^2 + 3$ , в точке  $M(-1; 0,5; -1)$ .

1.17. Найти наибольшую скорость изменения поля, заданного функцией  $\varphi = x \cdot y^3 \cdot z^4$ , в точке  $M(1; 1; 1)$ .

### Дивергенция вектора

1.18. Задано поле вектора  $\vec{A} = x^2 \vec{x}_0 + y \cdot z \cdot \vec{y}_0 + x \cdot y \cdot \vec{z}_0$ . Найти  $\operatorname{div} \vec{A}$ .

1.19. Задано поле вектора  $\vec{A} = x^2 \vec{x}_0 + (x \cdot y)^2 \vec{y}_0 + 24x^2 y^2 z^3 \vec{z}_0$ . Найти  $\operatorname{div} \vec{A}$  в точке  $(2; 1; 1)$ .

1.20. В области значений  $0 \leq r \leq 2$  цилиндрической системы координат вектор  $\vec{A} = (4r^{-1} + 2e^{-0,5r} + 4r^{-1} e^{-0,5r}) \vec{r}_0$ , а при  $r > 2$   $\vec{A} = \left(\frac{2,057}{r}\right) \vec{r}_0$ . Найти  $\operatorname{div} \vec{A}$  в этих областях.

1.21. Задано поле вектора  $\vec{A} = 5x^2 \left( \sin \frac{\pi x}{2} \right) \vec{x}_0$ . Найти  $\operatorname{div} \vec{A}$  в точке  $x = 1$ .

1.22. В цилиндрической системе координат задано поле вектора  $\vec{A} = r \sin \varphi \cdot \vec{r}_0 + r^2 \cos \varphi \cdot \vec{\varphi}_0 + 2r \cdot e^{-5z} \vec{z}_0$ . Найти дивергенцию вектора  $\vec{A}$  в точке  $\left(\frac{1}{2}; \frac{\pi}{2}; 0\right)$ .

1.23. В сферической системе координат задано поле вектора  $\vec{A} = \frac{5}{r^2} \sin \theta \cdot \vec{r}_0 + r \cdot \operatorname{ctg} \theta \cdot \vec{\theta}_0 + r \sin \theta \cos \varphi \cdot \vec{\varphi}_0$ . Найти  $\operatorname{div} \vec{A}$ .

1.24. Задано поле вектора  $\vec{A} = e^{-y} (\cos x \cdot \vec{x}_0 - \sin x \cdot \vec{y}_0)$ . Найти  $\operatorname{div} \vec{A}$ .

1.25. Задано поле вектора  $\vec{A} = (x^2 + y^2)^{-1/2} \vec{x}_0$ . Найти  $\operatorname{div} \vec{A}$  в точке  $(2; 2; 0)$ .

1.26. В цилиндрической системе координат задано векторное поле  $\vec{A} = r \sin \varphi \cdot \vec{r}_0 + 2r \cos \varphi \cdot \vec{\varphi}_0 + 2z^2 \vec{z}_0$ . Найти  $\operatorname{div} \vec{A}$ .

1.27. В цилиндрической системе координат задано поле вектора  $\vec{A} = 10 \sin^2 \varphi \cdot \vec{r}_0 + r \cdot \vec{\varphi}_0 + \frac{z^2 \cos^2 \varphi}{r} \vec{z}_0$ . Найти  $\operatorname{div} \vec{A}$  в точке  $(2; \varphi; 5)$ .

1.28. Задано векторное поле

$$\vec{A} = \frac{5}{r^2} \vec{r}_0 + \frac{10}{\sin \theta} \vec{\theta}_0 - r^2 \varphi \cdot \sin \theta \cdot \vec{\varphi}_0. \text{ Найти } \operatorname{div} \vec{A}.$$

1.29. Задано векторное поле  $\vec{A} = 5 \sin \theta \cdot \vec{\theta}_0 + 5 \sin \varphi \cdot \vec{\varphi}_0$ . Найти  $\operatorname{div} \vec{A}$ .

$\operatorname{div} \vec{A}$  в точке  $\left(0,5, \frac{\pi}{4}, \frac{\pi}{4}\right)$ .

1.30. Задано поле вектора  $\vec{A} = e^{5x} \vec{x}_0 + 2 \cos y \cdot \vec{y}_0 + 2 \sin z \cdot \vec{z}_0$ .

Найти  $\operatorname{div} \vec{A}$  в точке  $(0; 0; 0)$ .

1.31. Задано поле вектора  $\vec{A} = (3x + y^2) \vec{x}_0 + (x - y^2) \vec{y}_0$ . Найти  $\operatorname{div} \vec{A}$ .

1.32. Задано поле вектора  $\vec{A} = 2x \cdot y \cdot \vec{x}_0 + z \cdot \vec{y}_0 + y \cdot z^2 \vec{z}_0$ . Найти  $\operatorname{div} \vec{A}$  в точке  $(2; -1; 3)$ .

1.33. Задано поле вектора  $\vec{A} = 4x \cdot y \cdot \vec{x}_0 - x \cdot y^2 \vec{y}_0 + 5 \sin z \cdot \vec{z}_0$ .

Найти  $\operatorname{div} \vec{A}$  в точке  $(2; 2; 0)$ .

1.34. В цилиндрической системе координат задано поле вектора  $\vec{A} = 2r \cos^2 \varphi \cdot \vec{r}_0 + 3r^2 \sin z \cdot \vec{\varphi}_0 + 4z \sin^2 \varphi \cdot \vec{z}_0$ . Найти  $\operatorname{div} \vec{A}$ .

1.35. В цилиндрической системе координат задано поле вектора  $\vec{A} = (10/r^2) \vec{r}_0 + 5e^{-2z} \vec{z}_0$ . Найти  $\operatorname{div} \vec{A}$  в точке  $(2; \varphi; 1)$ .

1.36. Задано поле вектора  $\vec{A} = 10\vec{r}_0 + 5 \sin \theta \cdot \vec{\theta}_0$ . Найти  $\operatorname{div} \vec{A}$ .

1.37. Задано поле вектора  $\vec{A} = r \cdot \vec{r}_0 - r^2 \operatorname{ctg} \theta \cdot \vec{\theta}_0$ . Найти  $\operatorname{div} \vec{A}$ .

1.38. Задано поле вектора  $\vec{A} = \left( \frac{10 \sin^2 \theta}{r} \right) \vec{r}_0$ . Найти  $\operatorname{div} \vec{A}$  в точке  $\left(2; \frac{\pi}{4}; \frac{\pi}{2}\right)$ .

1.39. Задано поле вектора  $\vec{A} = r^2 \sin \theta \cdot \vec{r}_0 + 13\varphi \cdot \vec{\theta}_0 + 2r \cdot \vec{\varphi}_0$ . Найти  $\operatorname{div} \vec{A}$ .

1.40. В области  $r \leq 2$  цилиндрической системы координат вектор  $\vec{A} = \left(10r + \frac{r^2}{3}\right) \vec{r}_0$ , а при  $r > 2$   $\vec{A} = \left(\frac{3}{128r}\right) \vec{r}_0$ . Найти  $\operatorname{div} \vec{A}$  в обеих областях  $r$ .

1.41. Определить дивергенцию векторного поля  $\vec{A}$ , имеющего в сферической системе координат единственную составляющую

$$A_\theta = 8re^{-10r}; \quad A_r = 0; \quad A_\varphi = 0.$$

1.42. Найти дивергенцию вектора  $\vec{B} = \vec{A} \cdot r$ , где  $\vec{A} = A_x \vec{x}_0 + A_y \vec{y}_0 + A_z \vec{z}_0$ ,  $r = \sqrt{x^2 + y^2 + z^2}$ .

1.43. В цилиндрической системе координат вектор  $\vec{A} = \left(\frac{10r^3}{4}\right) \vec{r}_0$ . Найти  $\operatorname{div} \vec{A}$ .

#### Поток вектора

1.44. Подсчитать поток вектора  $\vec{A} = x \cdot y \cdot \vec{x}_0 + 2y \cdot \vec{y}_0 - z \cdot \vec{z}_0$  сквозь поверхность сферы  $x^2 + y^2 + z^2 = 9$ .

Указание: использовать сферическую систему координат.

1.45. Подсчитать поток вектора  $\vec{A} = \frac{5}{r^2} \vec{r}_0$  сквозь сферическую поверхность радиусом  $r = a$  с центром в начале координат.

1.46. Подсчитать поток радиуса-вектора  $\vec{r} = x \cdot \vec{x}_0 + y \cdot \vec{y}_0 + z \cdot \vec{z}_0$  сквозь полную поверхность прямого круглого цилиндра радиусом  $a$ , высотой  $h$ . Убедиться в справедливости теоремы Остроградского – Гаусса.

1.47. Задан вектор  $\vec{A} = \left(\frac{10x^3}{3}\right) \vec{x}_0$ . Найти поток этого вектора

через поверхность куба с ребром  $2 \text{ м}$  ( $-1 \leq x \leq 1$ ); ( $-1 \leq y \leq 1$ ); ( $-1 \leq z \leq 1$ ). Убедиться в справедливости теоремы Остроградского – Гаусса.

1.48. Найти поток вектора  $\vec{A} = 30e^{-r} \vec{r}_0 - 2z \cdot \vec{z}_0$  сквозь поверхность прямого круглого цилиндра радиусом  $r = 2M$ , высотой  $h = 5 \text{ м}$ . Убедиться в справедливости теоремы Остроградского – Гаусса.

1.49. Для поля  $\vec{D} = \frac{5r^2}{4} \vec{r}_0$  оценить результаты вычислений при использовании левой и правой частей теоремы Остроградского для объема, заключенного между двумя сферическими поверхностями радиусами:  $r_1 = 1; r_2 = 2$ .

1.50. Найти поток вектора  $\vec{A} = \frac{5r^2}{4} \vec{r}_0$  сквозь поверхность конуса в сферической системе координат единственный составляющей

са, размеры которого указаны на рис. 1.1.

- 1.51. Используя теорему Остроградского – Гаусса, найти поток вектора  $\bar{A} = \frac{10r^3}{4}\bar{r}_0$  сквозь поверхность, ограниченную координатами  $r = 2$ ;  $z_1 = 0$ ;  $z_2 = 10$  цилиндрической системы координат (рис. 1.2).

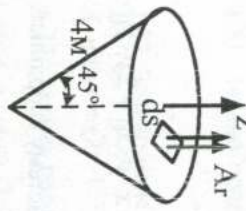


Рис. 1.1

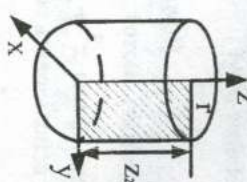


Рис. 1.2

- 1.52. Задан вектор  $\bar{A} = x^2\bar{x}_0 + (x \cdot y)^2\bar{y}_0 + 24x^2y^2z^3\bar{z}_0$ . Вычислить поток этого вектора через поверхность куба с ребром, равным единице длины, и вершиной в начале координат. Вычислив интеграл  $\int_V \operatorname{div} \bar{A} dV$ , где  $V$  – объем куба, убедиться в справедливости теоремы Остроградского – Гаусса.

- 1.53. Задан вектор  $\bar{B} = \operatorname{rot} \bar{A}$ . Найти поток этого вектора через поверхность сферы  $x^2 + y^2 + z^2 = a^2$ .

- 1.54. Подсчитать поток радиуса вектора сквозь сферическую поверхность радиусом  $a$  с центром в начале координат.

#### Циркуляция вектора

- 1.55. Найти циркуляцию вектора  $\bar{A} = -\frac{y}{a}\bar{x}_0 + \frac{x}{a}\bar{y}_0$  по окружности  $x^2 + y^2 = a^2$ .

- 1.56. Вычислить циркуляцию радиуса-вектора по окружности  $x^2 + y^2 = a^2$ .

1.57. Найти циркуляцию вектора  $\bar{A} = x \cdot \bar{x}_0 + x^2z \cdot \bar{y}_0 + y^2z \cdot \bar{z}_0$  по контуру  $L$  (рис. 1.3).

- 1.58. Задан вектор  $\bar{A} = \operatorname{grad} \varphi$ . Вычислить циркуляцию этого вектора по окружности  $x^2 + y^2 = a^2$ .

- 1.59. Подсчитать циркуляцию вектора  $\bar{A} = (x - 2z)\bar{x}_0 + (x + 3y + z)\bar{y}_0 + (5x + y)\bar{z}_0$  по периметру треугольника  $abc$  с координатами вершин  $a(1,0,0)$ ,  $b(0,0,1)$ ,  $c(0,1,0)$ .

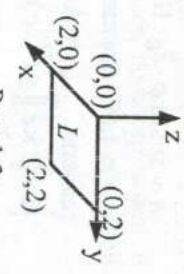


Рис. 1.3

Ротор вектора

- 1.60. Найти ротор вектора  $\bar{A} = x \cdot \bar{x}_0 + x^2z \cdot \bar{y}_0 + y^2z \cdot \bar{z}_0$ .
- 1.61. Задано векторное поле  $\bar{A} = (y \cdot \cos ax)\bar{x}_0 + (y + e^x)\bar{y}_0$ . Найти  $\operatorname{rot} \bar{A}$  в начале координат.

- 1.62. Задано векторное поле  $\bar{A} = (\cos x \cdot \sin y)\bar{y}_0 + (\sin x \cdot \cos y)\bar{y}_0$ . Найти  $\operatorname{rot} \bar{A}$ .

- 1.63. В цилиндрической системе координат задан вектор  $\bar{A} = \sin 2\varphi \cdot \bar{\varphi}_0$ . Найти  $\operatorname{rot} \bar{A}$  в точке  $\left(2; \frac{\pi}{4}; 0\right)$ .

- 1.64. Задано векторное поле  $\bar{A} = 5e^{-r} \cos \varphi \cdot \bar{r}_0 - 5 \cos \varphi \cdot \bar{z}_0$ . Найти  $\operatorname{rot} \bar{A}$  в точке  $\left(2; \frac{3\pi}{2}; 0\right)$ .
- 1.65. В сферической системе координат задан вектор  $\bar{A} = 8re^{-10r} \cdot \bar{\theta}_0$ . Найти  $\operatorname{rot} \bar{A}$ .

- 1.66. В сферической системе координат задан вектор  $\bar{A} = 10 \sin \theta \cdot \bar{\theta}_0$ . Найти  $\operatorname{rot} \bar{A}$  в точке  $\left(2; \frac{\pi}{2}; 0\right)$ .

- 1.67. В сферической системе координат задан вектор  $\bar{A} = 2,5 \cdot \bar{\theta}_0 + 5\bar{\varphi}_0$ . Найти  $\operatorname{rot} \bar{A}$  в точке  $\left(2; \frac{\pi}{6}; 0\right)$ .

- 1.68. В цилиндрической системе координат задан вектор

$\vec{A} = 5r \sin \varphi \cdot \vec{z}_0$ . Найти  $\text{rot } \vec{A}$  в точке  $(2, \pi; 0)$ .

1.69. Доказать, что  $\operatorname{rot} \operatorname{rot} \bar{\Delta} = \operatorname{grad} \operatorname{div} \bar{A} - \nabla^2 A$ . Для доказательства использовать формулу векторной алгебры

$$[\bar{a} \times [\bar{b} \times \bar{c}]] = \bar{b}(\bar{a}\bar{c}) - \bar{c}(\bar{a}\bar{b}) = b(\bar{a}\bar{c}) - (\bar{a}\bar{b}).$$

$\bar{r} = \operatorname{rot} \bar{A}$ . Найти поток этого вектора через

поверхность сферы  $x^2 + y^2 + z^2 = a^2$ .

1.71. Определив ротор

Вектора

$\left( \int_S \bar{rot} \vec{A} ds \right)$  через поверхность, опиравшуюся на треугольник  $abc$  с

координатами вершин  $a(1, 0, 0)$ ,  $b(0, 0, 1)$ ,  $c(0, 1, 0)$ .

1. / 2. В цифровом виде.

$\vec{A} = \frac{2\cos\theta}{r^3}\vec{r}_0 + \frac{\sin\theta}{r^3}\vec{\theta}_0$ . Доказать, что  $\text{rot } A = 0$ .

1.73. В цилиндрической системе координат задан вектор

1.1.5. Найти  $\operatorname{rot} \vec{A}$  в точке  $\left(0.8; \frac{\pi}{2}; 0.5\right)$ .

1.74. В сферической системе координат вектор

$\vec{A} = \sin \varphi \cdot \vec{r}_0 + \sin \theta \cdot \vec{\varphi}_0$ . Найти  $\text{rot } \vec{A}$  в точке  $\left(2; \frac{\pi}{2}; 0\right)$ .

## 2. ОСНОВНЫЕ ХАРАКТЕРИСТИКИ ЭЛЕКТРОМАГНИТНОГО ПОЛЯ: ЯДЫ, ЭЛЕКТРИЧЕСКИЕ ТОКИ, ВЕКТ

Электромагнитное поле – это особый вид материи, способный распространяться в вакууме со скоростью света и оказывающий силовое воздействие на заряженные частицы. Оно представляет собой единство двух составляющих – электрического и магнитного полей. Основными характеристиками электромагнитного поля являются заряды, электрические токи, векторы поля.

Зарядъ

Заряды могут быть распределены по объему, по поверхности и т. д. Обычно частичное заполнение зарядов характеризуется объемной

плотностью  $\rho = \lim_{\Delta V \rightarrow 0} \frac{\Delta Q}{\Delta V} = \frac{dQ}{dV}$ . Размерность  $[\rho] = \text{КН/М}^3$ .

Полный заряд, сосредоточенный в объеме  $V$ ,  $Q = \rho dV$ .

Поверхностное распределение заряда с плотностью  $\rho_s = \lim_{\Delta s \rightarrow 0} \frac{\Delta Q}{\Delta s} = \frac{dQ}{ds}$ . Размерность

$$[\rho] = \text{Kil}^2.$$

Связь между поверхностной и объемной плотностями зарядов

$$\rho_s = \rho_{dh}$$

где  $dh$  – толщина слоя заряженной поверхности.

плотностью зарядов  $\tau = \lim_{\Delta l \rightarrow 0} \frac{\Delta \Sigma}{\Delta l} = \frac{d\Sigma}{dl}$ . Размерность  $[\tau] = \text{Кл/М.м}$ .

$$\text{Полный заряд нити} \quad Q = \int_L \tau dl.$$

Полный заряд системы точечных зарядов равен их сумме

$$\sigma = \sum_{i=1}^n q_i.$$

Электрические токи

Движущиеся заряды образуют электрический ток. Сила тока

$$I = \lim_{\Delta t \rightarrow 0} \frac{\Delta Q}{\Delta t} = - \frac{dQ}{dt}, \text{ Размерность } [I] = A$$

Различают несколько видов распределения токов. Объемное

распределение тока характеризуется вектором объемной плотности тока  $\vec{\delta} = \frac{d\vec{j}}{dV} = \frac{dQ}{dV} \vec{v} = \rho \vec{v}$ . Размерность  $[\vec{\delta}] = \text{А/м}^2$ .

Сила тока, протекающего через некоторую поверхность  $S$ ,  $I = \int_S \vec{\delta} dS$ .

Направление вектора  $\vec{\delta}$  совпадает с направлением движения положительных зарядов.

Поверхностное распределение тока характеризуется вектором поверхности тока  $\vec{\delta}_s = \frac{d\vec{j}}{ds} = \frac{dQ}{ds} \vec{v} = \rho_s \vec{v}$ . Размерность  $[\vec{\delta}_s] = \text{А/м}$ .

Сила тока, текущего по поверхности

$$(рис. 2.1), I = \int_L \vec{\delta}_s d\vec{l}, \text{ где } L - \text{линия, перпендикулярная к линиям тока, текущего по поверхности.}$$

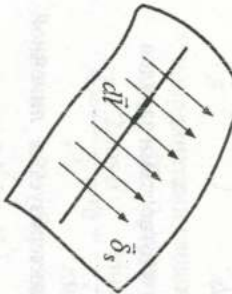


Рис. 2.1

Сила тока, текущего по нити, равна по величине линейной плотности тока:  $I = \tau v$ .

### Векторы поля

Электромагнитное поле определено, если в каждой точке пространства известны величины и направления четырех векторов:  $\vec{E}$  – напряженности электрического поля,  $\vec{D}$  – электрического смещения (индукции),  $\vec{H}$  – напряженности магнитного поля,  $\vec{B}$  – магнитной индукции.

Векторы  $\vec{D}$  и  $\vec{H}$  являются функциями только источников поля и не зависят от параметров среды  $\epsilon_a, \mu_a$ . Векторы  $\vec{E}$  и  $\vec{B}$  характеризуют силу, с которой поля действуют на заряды. Они зависят от параметров среды:  $\vec{E} = \frac{\vec{D}}{\epsilon_a}$ ;  $\vec{B} = \mu_a \vec{H}$ . Качественная характеристика электрического поля экспериментально установлена законом Кулона,

определенным силу взаимодействия между точечными зарядами, находящимися в однородной среде:  $d\vec{F} = \frac{dq_1 dq_2}{4\pi\epsilon_0 r^2} \vec{r}_0$ , где  $\vec{r}_0$  – единичный вектор, направленный от первого заряда  $dq_1$  на заряд  $dq_2$ ;  $r$  – расстояние между зарядами;  $\epsilon_0$  – абсолютная диэлектрическая проницаемость среды;  $\epsilon_a = \epsilon_0 \epsilon$ , где  $\epsilon_0$  – диэлектрическая проницаемость вакуума;  $\epsilon$  – относительная диэлектрическая проницаемость среды. Коэффициент  $\epsilon$  показывает, во сколько раз сила взаимодействия между зарядами в данной среде меньше, чем в вакууме.

Напряженность электрического поля равна силе, с которой поле действует на единичный положительный точечный заряд, внесенный в электрическое поле.

$$\text{Размерность напряженности } [E] = \frac{[F]}{[q]} = \frac{\text{Дж}}{\text{Кл} \cdot \text{м}} = \frac{\text{Кл} \cdot \text{в}}{\text{Кл} \cdot \text{м}} = \frac{\text{в}}{\text{м}}.$$

$$\text{Напряженность поля точечного заряда } d\vec{E} = \frac{dq}{4\pi\epsilon_0 r^2} \vec{r}_0.$$

В каждой точке пространства вектор  $\vec{E}$  поля точечного заряда направлен по прямой, соединяющей заряд с точкой наблюдения. Графически электрическое поле изображают с помощью силовых линий, густота которых пропорциональна напряженности поля.

Размерность вектора электрического смещения  $[D] = \text{Кл/м}^2$ .

Единица измерения магнитной индукции  $[B] = \text{Вб/м}^2 = \text{Тл}$ .

Размерность вектора напряженности магнитного поля – напряженности электрического поля,  $D$  – электрического смещения (индукции),  $H$  – напряженности магнитного поля,  $B$  – магнитной индукции.

Среды;  $\mu_a = \mu \mu_0$ , где  $\mu$  – относительная магнитная проницаемость среды, показывающая, во сколько раз сила взаимодействия между точками в данной среде больше, чем в вакууме;  $\mu_0$  – магнитная проницаемость вакуума.

Сила взаимодействия между проводниками с токами устанавливается законом Ампера:

$$d\vec{F}_{12} = \frac{\mu_a}{4\pi r^2} [d\vec{j}_2] [d\vec{j}_1] \vec{r}_0,$$

где  $d\vec{F}_{12}$  – сила, действующая со стороны элемента тока  $d\vec{j}_1$  на элемент тока  $d\vec{j}_2$ ;  $r$  – расстояние между элементами тока.

Однаково направленные элементы тока притягиваются, а направленные в противоположные стороны – отталкиваются.

$$\text{Соотношение } d\vec{B} = \frac{\mu_0}{4\pi r^2} [d\vec{j}\vec{r}_0] \text{ носит на-}$$

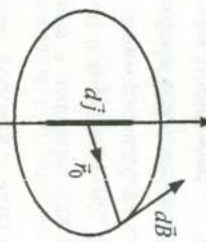


Рис. 2.2

звание закона Био - Савара.

Вектор магнитной индукции  $\vec{B}$  по величине равен силе, действующей на единичный элемент тока, а его направление перпендикулярно к этой силе и элементу тока (рис. 2.2). Векторы  $\vec{B}$ ,  $d\vec{j}$  и  $\vec{r}_0$  образуют правую тройку векторов.

### Задачи

2.1. Шар радиусом  $a$  заряжен с объемной плотностью  $\rho = \rho_0 \frac{r^2}{a^2} \sin \theta [\text{Кл}/\text{м}^3]$ . Найти полный заряд шара  $Q$ .

2.2. Нить длиной  $l$ , направленная вдоль оси  $x$ , заряжена с плотностью  $\tau = \tau_0 \cos \left( \frac{\pi}{a} x \right)$ . Вычислить полный заряд нити  $Q$  при  $l = a/4; a/2; 2a$ .

2.3. Шар радиусом  $a$  заряжен с объемной плотностью  $\rho = \rho_0 \frac{r}{a} \cos \theta$ . Вычислить полный заряд шара  $Q$ .

2.4. Сфера радиусом  $a$ , заряженная с плотностью  $\rho_s = \rho_0 \sin \theta [\text{Кл}/\text{м}^2]$ , вращается со ск

ростью  $\omega$  вокруг оси, проходящей через ее центр. Вычислить поверхность плотность тока и пол-

ный ток  $I$  на ее поверхности (рис. 2.3).

2.5. Цилиндр радиусом  $a$ , высотой  $h$ , заряженный с плотностью

$\rho_s = \rho_0 \frac{z^2}{a^2} [\text{Кл}/\text{м}^2]$ , вращается вокруг оси  $z$  со скоростью  $\omega$ . Вычислить силу тока на боковой поверхности цилиндра.

2.6. Вычислить силу взаимодействия на единицу длины двух параллельных бесконечных нитей, равномерно заряженных с линейной плотностью  $\tau_1$  и  $\tau_2$  и расположенных на расстоянии  $d$  в однородной среде с диэлектрической проницаемостью  $\epsilon_0$ .

2.7. Электрон с зарядом  $e = -1,6 \cdot 10^{-19}$  Кл и массой  $m = 9,11 \cdot 10^{-28}$  г, летящий вдоль оси  $z$  со скоростью  $v = 10^{+7}$  м/с, попадает в зону, где одновременно существуют электрическое и магнитное поля  $\vec{E} = E_x \vec{x}_0; E_x = 10^{+6}$  В/м;  $\vec{B} = B_y \vec{y}_0; B_y = 4 \cdot 10^{-2}$  Вб/м<sup>2</sup>. Определить направление и величину силы, действующей на электрон, и его ускорение.

2.8. Бесконечно тонкий диск радиусом  $a$ , заряженный с плотностью  $\rho_s = \rho_0 \frac{r}{a} [\text{Кл}/\text{м}^2]$ , вращается вокруг оси со скоростью  $\omega$ . Вычислить поверхностную плотность тока  $\delta_s$  и полный ток  $I$  на поверхности диска (рис. 2.4).

2.9. Сравнить  $d\vec{F}_{12}$  и  $d\vec{F}_{21}$  для следующих комбинаций элементов токов (рис. 2.5). Указание: использовать формулу векторной алгебры для двойного векторного произведения  $[\vec{a} \times (\vec{b} \times \vec{c})] = \vec{b}(\vec{a} \vec{c}) - \vec{c}(\vec{a} \vec{b})$ .

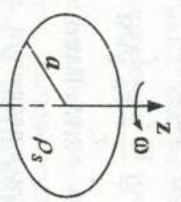


Рис. 2.4

2.10. Определить силу взаимодействия на единицу длины двух бесконечных параллельных проводов с токами  $I_1 = 2$  А и  $I_2 = 5$  А, текущими в одном направлении. Провода находятся в воздухе на расстоянии 10 см.

2.11. По круглому цилиндрическому проводнику диаметром 4 мм протекает ток  $I$  силой 2 А. Провод выполнен из меди ( $\sigma = 5,7 \cdot 10^7$  См/м). Определить тангенциальную составляющую вектора

напряженности электрического поля на поверхности проводника.

2.12. Круглый диск радиусом  $a = 4$  м заряжен с поверхностной плотностью  $\rho_s = \frac{\sin^2 \varphi}{2r} \left[ \text{Кл}/\text{м}^2 \right]$ . Найти полный заряд диска.

2.13. Найти полный заряд, находящийся между двумя сферами  $1 \text{ м} \leq r \leq 2 \text{ м}$ , если объемная плотность заряда в сферической системе координат  $\rho = \frac{5 \cos^2 \varphi}{r^4} \left[ \text{Кл}/\text{м}^3 \right]$ .

2.14. Найти полный ток, текущий по цилиндрическому проводнику радиусом  $a = 2$  мм, если объемная плотность тока

$$\bar{\delta} = \frac{10^3}{r} \bar{z}_0 \left[ \text{А}/\text{м}^2 \right].$$

2.15. Найти полный ток, протекающий через площадку, лежащую в плоскости  $x = 0$  и ограниченную значениями  $-\frac{\pi}{4} \leq y \leq \frac{\pi}{4}$  и  $-0,01 \text{ м} \leq z \leq 0,01 \text{ м}$ , если  $\bar{\delta} = 100 \cdot \cos 2y \cdot \bar{z}_0 \left[ \text{А}/\text{м}^2 \right]$ .

2.16. Построить суммарный вектор напряженности электрического поля  $\bar{E}_{\Sigma}$  в точке наблюдения  $A(x, y)$ , созданный зарядами  $q_1 = q_1 \cdot$

$= 2 \text{ Кл}$ ,  $q_2 = -1 \text{ Кл}$ , находящимися на одинаковом расстоянии от точки наблюдения (рис. 2.6).

Рис. 2.6

2.17. Найти напряженность электрического поля  $\bar{E}$  (модуль и направление) в точке  $(0, 3, 4)$  декартовой системы координат, созданную точечным зарядом  $q = 0,5 \text{ мкКл}$ , расположенным в начале координат.

2.18. Заряд  $q = 2 \cdot 10^{-8} \text{ Кл}$  равномерно распределен по тонкому стержню. Определить напряженность электрического поля в точке, отстоящей от концов стержня на расстоянии  $R = 20 \text{ см}$ , а от середины стержня — на расстоянии  $R_0 = 15 \text{ см}$ .  $\varepsilon_a = \varepsilon_0$ .

2.19. В цилиндрическом проводнике радиусом 2 мм объемная плотность тока  $\bar{\delta} = 10^3 e^{-400r} \bar{z}_0 \left[ \text{А}/\text{м}^2 \right]$ . Найти полный ток в проводнике.

2.20. Два заряда в вакууме взаимодействуют на расстоянии 11 см с такой же силой, как в скрипиде на расстоянии 7,4 см. Определить относительную диэлектрическую проницаемость скрипидара ( $\varepsilon_{\text{ск}}$ ).

2.21. Заряды  $q_1 = 50 \text{ мкКл}$  и  $q_2 = 10 \text{ мкКл}$  расположены в точках  $(-1, 1, -3)$  и  $(3, 1, 0)$  соответственно. Диэлектрическая проницаемость  $\varepsilon_a = \varepsilon_0$ . Найти силу, действующую на заряд  $q_1$  со стороны заряда  $q_2$ .

2.22. Найти силу взаимодействия между зарядами  $q_1 = 20 \text{ мкКл}$  и  $q_2 = -300 \text{ мкКл}$ , расположенныхными в точках  $(0, 1, 2)$  и  $(2, 0, 0)$  соответственно (рис. 2.7). Диэлектрическая проницаемость

$$\varepsilon_a = \varepsilon_0.$$

2.23. Найти напряженность электрического поля  $E$  в точке  $(0, 0, 5)$  (рис. 2.8), созданную зарядами  $q_1 = 0,35 \text{ мкКл}$ , расположенным в точке  $(3, 0, 0)$ .

2.24. На рис. 2.9 показаны две параллельные бесконечные заряденные с линейной плотностью  $\tau = 4 \text{ пКл}/\text{м}$  нити, расположенные вдоль оси  $z$  в плоскости  $x = 0$  на расстоянии  $y = \pm 4 \text{ м}$ . Найти напряженность поля  $\bar{E}$  в точке  $P(4, 0, z) \text{ м}$ .

2.25. Вывести выражение для напряженности электрического поля  $\bar{E}$  в точке  $P$  на оси  $z$ , созданного бесконечной плоскостью  $xy$ , заряженной равномерно с поверхностной плотностью  $\rho_s$  (рис. 2.10). Диэлектрическая проницаемость среды  $\varepsilon_a = \varepsilon_0$ .



Рис. 2.7

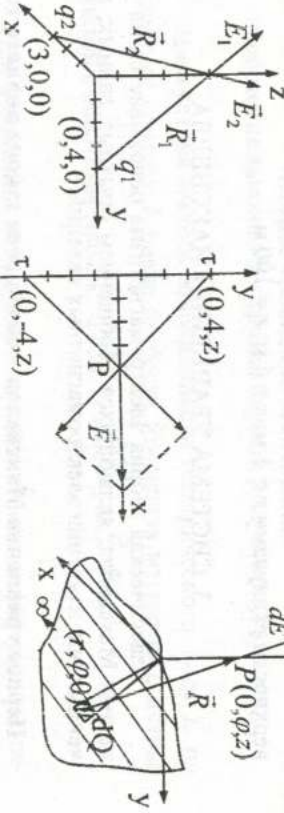


Рис. 2.8  
Рис. 2.9  
Рис. 2.10

2.26. Два одинаковых заряда, находящиеся на маленьких шарах, отстоящих друг от друга на расстоянии 10 см, взаимодействуют в воздухе с силой  $F = 5 \cdot 10^{-4} \text{ Н}$ . Определить величины зарядов.

2.27. Точечный заряд  $q_1 = 300 \text{ мкКл}$ , находящийся в точке  $(1, -1,$

-3), действует с силой  $\bar{F}_1 = 8\bar{x}_0 - 8\bar{y}_0 + 4\bar{z}_0$  Н на точечный заряд  $q_2$ , находящийся в точке  $(3, -3, 2)$ .  $\varepsilon_a = \varepsilon_0$ . Найти заряд  $q_2$ .

2.28. Найти напряженность электрического поля  $\bar{E}$  в точке  $P$  на оси круглого диска радиусом  $r = a$ , равномерно заряженного с поверхностной плотностью  $\rho_s$  (рис. 2.11).

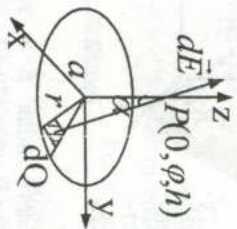


Рис. 2.11

2.29. Точечные заряды  $q_1 = 250$  мкКл и  $q_2 = -300$  мкКл расположены в точках  $(5, 0, 0)$  м и  $(0, 0, -5)$  м соответственно. Найти силу, действующую на заряд  $q_2$ .

2.30. Точечные заряды  $q_1 = 30$  мкКл и  $q_2 = -100$  мкКл расположены в точках  $(2, 0, 5)$  м и  $(-1, 0, -2)$  м соответственно. Найти силу, действующую на заряд  $q_1$ .

2.31. В свободном пространстве в области  $r \leq a$  сферической системы координат известно электрическое поле напряженностью

$$\bar{E} = \frac{\rho r}{3\varepsilon_0} \bar{r}_0. \text{ Приняв } r = b \leq a, \text{ убедиться в справедливости теоремы}$$

Остроградского – Гаусса.

2.32. Шар радиусом  $r = 2$  м заряжен с объемной плотностью  $\rho = -\frac{200}{r^2}$  мкКл/м<sup>3</sup>. Найти поток  $\int \bar{D} d\bar{s}$  сквозь сферические поверхности радиусами  $r = 1$  м;  $r = 4$  м;  $r = 100$  м.

### 3. СИСТЕМА УРАВНЕНИЙ МАКСВЕЛЛА

Классическая теория электромагнетизма основывается на уравнениях Максвелла, являющихся обобщением опытных данных, полученных при изучении электромагнитных явлений.

#### Первое уравнение Максвелла – обобщение закона полного тока

Циркуляция вектора напряженности электрического поля  $\bar{E}$  по замкнутому контуру  $L$  равна скорости изменения магнитного потока  $\Phi$ , взятой с обратным знаком:  $\oint \bar{E} d\bar{l} = -\frac{\partial \Phi}{\partial t} = -\frac{\partial}{\partial t} \int \bar{B} d\bar{s}$ .

При изменении магнитной индукции  $\bar{B}$  или деформации и перемещении проводящего контура  $L$  в нем возникает ЭДС индукции. Дифференциальная форма записи этого уравнения

$$\operatorname{rot} \bar{E} = -\frac{\partial \bar{B}}{\partial t}. \text{ Изменение магнитного поля во времени } \left(\frac{\partial \bar{B}}{\partial t}\right) \text{ вызывает появление вихревого электрического поля в пространстве } (\operatorname{rot} \bar{E}).$$

где  $\bar{\delta}$  – объемная плотность тока проводимости;  
 $\bar{\delta}_{cm}$  – объемная плотность стороннего тока;

$\bar{D}$  – вектор электрического смещения.

Дифференциальная форма записи этого уравнения имеет вид:

$$\operatorname{rot} \bar{H} = \bar{\delta} + \frac{\partial \bar{D}}{\partial t} + \bar{\delta}_{cm},$$

где  $\frac{\partial \bar{D}}{\partial t} = \bar{\delta}_{cm}$  – объемная плотность тока смещения.

Изменение электрического поля во времени  $\left(\frac{\partial \bar{D}}{\partial t}\right)$  приводит к появлению магнитного поля в пространстве ( $\operatorname{rot} \bar{H}$ ).

Введение тока смещения связало уравнения Максвелла в систему, решением которой в общем случае является электромагнитная волна.

#### Второе уравнение Максвелла – обобщение закона электромагнитной индукции Фарадея

Циркуляция вектора напряженности электрического поля  $\bar{E}$  по замкнутому контуру  $L$  равна скорости изменения магнитного потока  $\Phi$ , взятой с обратным знаком:  $\oint \bar{E} d\bar{l} = -\frac{\partial \Phi}{\partial t} = -\frac{\partial}{\partial t} \int \bar{B} d\bar{s}$ .

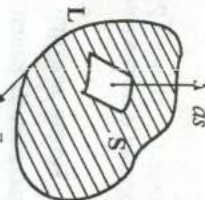


Рис. 3.1

**Третье уравнение Максвелла –  
теорема о потоке вектора электрической индукции (смещения)**

Поток вектора электрического смещения  $\bar{D}$  сквозь замкнутую поверхность  $S$  равен полному заряду  $Q$ , находящемуся в объеме  $V$ , ограниченном поверхностью  $S$  (рис. 3.2):

$$\oint_S \bar{D} d\bar{s} = \int_V \rho dV = Q,$$

где  $\rho$  – объемная плотность заряда;

$d\bar{s}$  – внешняя нормаль к поверхности.

Дифференциальная форма записи этого уравнения  $\operatorname{div} \bar{D} = \rho$ .

Источником силовых линий электрического поля являются электрические заряды.

**Четвертое уравнение Максвелла –  
закон непрерывности магнитного поля**

Поток вектора магнитной индукции  $\bar{B}$  через замкнутую поверхность  $S$  равен нулю:  $\oint_S \bar{B} d\bar{s} = 0$ .

В дифференциальной форме  $\operatorname{div} \bar{B} = 0$ . В природе нет магнитных зарядов, которые являлись бы источниками или стоками силовых линий магнитного поля, поэтому магнитные силовые линии поля всегда замкнуты.

Из первого и третьего уравнений Максвелла вытекает закон со-

хранения заряда  $\oint_S \bar{B} d\bar{s} = -\frac{\partial}{\partial t} \int_V \rho dV$  или  $I = -\frac{\partial Q}{\partial t}$ . Минус обознача-

ет, что при вытекании тока из объема заряд в последнем уменьшается.

Дифференциальная форма записи этого уравнения:

$$\operatorname{div} \bar{B} = -\frac{\partial \rho}{\partial t}.$$

Материальные уравнения:  $\bar{D} = \epsilon_a \bar{E}$ ,  $\bar{B} = \mu_a \bar{H}$ .

**Обобщенный закон Ома:**  $\bar{J} = \sigma (\bar{E} + \bar{E}_{cm})$ , где  $\sigma$  – удельная проводимость среды.

**Задачи**

3.1. Определить циркуляцию вектора  $\bar{H}$  по контуру с координатами  $(0,0); (0,1); (1,1); (1,0)$ , если плотность тока проводимости

$$\bar{J} = \bar{J}_0 \frac{xy}{a^2}, \quad \bar{J}_0 \perp \text{плоскости } XOY; \quad \text{плотность тока смещения } \frac{\partial \bar{D}}{\partial t} = 0.$$

3.2. Определить циркуляцию вектора  $\bar{H}$  по контуру (см. 3.1), если объемная плотность тока проводимости  $\bar{J}_0 = 0$ , а вектор электрического смещения  $\bar{D} = \bar{D}_0 y (\sin \omega t) / x; \bar{D}_0 \perp$  плоскости  $XOY$ .

3.3. Квадратная рамка со стороной  $a = 1$  м находится в поле  $H = H_0 \sin \omega t$ . Магнитная проницаемость среды  $\mu_a = \mu_0$ , плоскость рамки перпендикулярна к  $\bar{H}$ . Определить ЭДС, наводимую в рамке.

3.4. Дано  $\bar{E} = E_x \bar{x}_0$ . Доказать, что для переменных во времени полей в однородной изотропной среде без свободных токов и зарядов  $\bar{E} \perp \bar{H}$ . Считая  $\bar{J} = \delta_z \bar{z}_0$ , показать, что  $\bar{H} \perp \bar{J}$ .

3.5. Проводник длиной  $l$  движется со скоростью  $\bar{v}$  в равномерном магнитном поле, напряженность которого равна  $\bar{H}$ , пересекая силовые линии под углом  $\alpha$ . Вычислить ЭДС между концами проводника (рис. 3.3).

3.6. Вычислить напряженность маг-

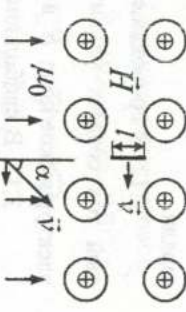


Рис. 3.3

нитного поля  $\bar{H}$  на расстоянии  $r$  от прямолинейного бесконечного проводника с током  $I$ .

3.7. Пластины плоского конденсатора, подключенного к источнику ЭДС  $U = const$ , сближаются со скоростью  $v$ . Вычислить плотность тока смещения и величину тока во внешней цепи, если площадь пластин  $S$ , а расстояние между пластинами при  $t = 0$  равно  $d_0$ .

$\epsilon_a = \epsilon_0$ . Краевой эффект не учитывать.

3.8. Некоторое тело с диэлектрической проницаемостью  $\epsilon_a$  и проводимостью  $\sigma$  в начальный момент времени заряжено с объемной

плотностью  $\rho = \rho_0$ . Определить, за какое время во внутренней части тела объемная плотность заряда  $\rho$  уменьшится вдвое. Нарушается ли закон сохранения заряда?

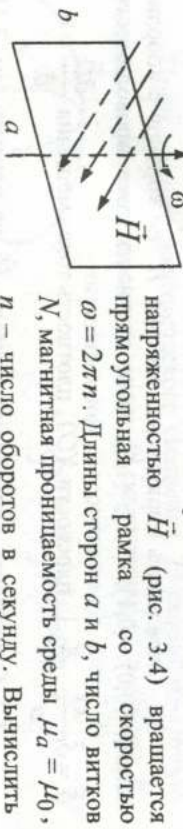


Рис. 3.4

ЭДС в рамке.

3.10. Задано поле  $\vec{D}$ :

$$\vec{D} = \begin{cases} k\vec{r} & \text{при } 0 \leq r \leq a; \\ \frac{a^3}{r^3}\vec{r} & \text{при } a < r \leq \infty, \end{cases}$$

где  $\vec{r}$  – радиус-вектор. Найти распределение зарядов, образовавших такое поле.

3.11. В некоторой области с диэлектрической проницаемостью  $\epsilon_0$  задано поле  $\vec{E} = k(x^2\vec{x}_0 + y^3\vec{y}_0)$ . Вычислить объемную плотность заряда.

3.12. В проводящей среде с проводимостью  $\sigma = 8 \text{ См}/\text{м}$  постоянный ток создает магнитное поле  $\vec{H} = 2y\vec{x}_0 - 6x\vec{y}_0$ . Определить электрическое поле  $\vec{E}$  в среде.

3.13. В свободном пространстве  $(\epsilon_0, \mu_0)$  электромагнитное поле задано сформулами  $\vec{E} = E_0 e^{-jkx}\vec{y}_0$ ,  $\vec{H} = H_0 e^{-jkx}\vec{z}_0$ . При каких значениях  $k$  и  $\frac{E_0}{H_0}$  это поле удовлетворяет уравнениям Максвелла?

3.14. Самолет летит горизонтально со скоростью  $v = 200 \text{ м}/\text{с}$ . Вычислить разность потенциалов между концами крыльев, если расстояние между ними  $30 \text{ м}$ , а вертикальная составляющая напряженности магнитного поля Земли  $H_B = 0.02 \text{ А}/\text{м}$ .

3.15. При какой частоте отношение плотностей токов смещения и проводимости в меди ( $\sigma_m = 5,7 \cdot 10^7 \text{ См}/\text{м}$ ,  $\epsilon_m = \epsilon_0$ ) будет таким же,

как и в сухой почве ( $\sigma_n = 10^{-4} \text{ См}/\text{м}$ ,  $\epsilon_n = 2\epsilon_0$ ) на частоте  $f = 10^3 \text{ Гц}$ ?

3.16. По бесконечному прямолинейному проводнику протекает постоянный ток  $I$ . Плоская рамка размерами  $a$  и  $b$  (рис. 3.5) удалена от проводника со скоростью  $\bar{v}$ . Вычислить ЭДС в рамке, если число витков равно  $N$ , начальное расстояние  $r_0$ , а параметры среды  $\epsilon_0, \mu_0$ .

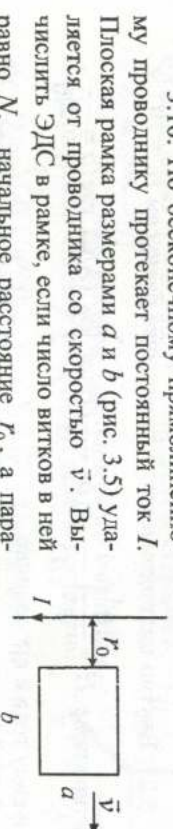


Рис. 3.5

3.17. Определить частоту  $f_0$ , при которой амплитуды объемной плотности тока смещения и плотности тока проводимости будут равны: 1) среда – медь ( $\sigma_m = 5,7 \cdot 10^7 \text{ См}/\text{м}$ ,  $\epsilon = 1$ ); 2) среда – морская вода ( $\sigma_w = 4 \text{ См}/\text{м}$ ,  $\epsilon = 80$ ).

3.18. Вычислить, на какой частоте плотности токов смещения и проводимости будут одинаковыми в среде с  $\sigma = 10^{-2} \text{ См}/\text{м}$ ,  $\epsilon_a = 3\epsilon_0$ .

3.19. По прямолинейному проводнику протекает ток  $I = I_0 \cos \omega t$  (рис. 3.6). Вычислить ЭДС, наведенную в рамке, состоящей из 10 витков, если  $r = 0,5 \text{ м}$ ;  $a = 5 \text{ см}$ ;  $b = 10 \text{ см}$ ;  $I_0 = 1 \text{ А}$ ;  $\omega = 10^3 \text{ 1/c}$ ;  $\mu_a = \mu_0$ .

3.20. Металлический стержень длиной  $l$  вращается с угловой скоростью  $\omega$  в однородном магнитном поле  $\vec{B}$ . Вычислить ЭДС в стержне (рис. 3.7).

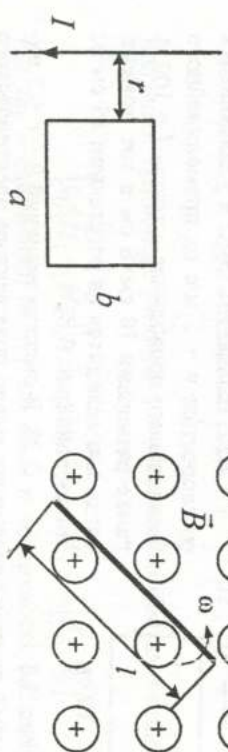


Рис. 3.6

Рис. 3.7

3.21. Показать, что уравнение непрерывности тока (закон сохранения заряда) вытекает из первого и третьего уравнений Максвелла при условии, что  $\delta_{st} = 0$ .

3.22. Определить силу тока смещения между квадратными пластины воздушного конденсатора со стороной  $5 \text{ см}$ , если напряжениями

нность электрического поля в нем изменяется со скоростью  $4,52 \cdot 10^6$  В/мс. Краевой эффект не учитывать.

3.23. Внутри цилиндрического проводника радиусом  $r_0 = 10^{-2}$  м

$$\text{магнитное поле } \bar{H} = \frac{10^4}{r} \left( \frac{1}{a^2} \sin ar - \frac{r}{a} \cos ar \right) \bar{\phi}_0 \text{ (А/м), где } a = \frac{\pi}{2r_0}.$$

Найти силу тока в проводнике.

3.24. Магнитное поле бесконечного прямолинейного проводника с током  $I$  радиусом  $a$ :

$$\bar{H} = \left( \frac{I r}{2\pi a^2} \right) \bar{\phi}_0 \text{ при } r \leq a;$$

$$\bar{H} = \frac{I}{2\pi r} \bar{\phi}_0 \text{ при } r \geq a.$$

Найти объемную плотность тока  $\bar{\delta}$  в обеих областях.

3.25. По медному проводнику ( $\sigma_m = 5,7 \cdot 10^7$  См/м) диаметром 2 мм протекает постоянный ток силой 7,5 А. Определить касательную составляющую вектора напряженности электрического поля на поверхности провода.

3.26. В однородном постоянном магнитном поле с индукцией  $B = 5 \cdot 10^{-6}$  Г вращается виток провода радиусом  $a = 0,2$  м с угловой скоростью 50 об/с. Сопротивление витка  $R = 5$  Ом. Ось вращения перпендикулярна к вектору  $\bar{B}$ . Найти максимальное значение тока в витке и выразить зависимость тока от времени.

3.27. Вычислить ЭДС в удаляющейся со скоростью  $v = 5$  м/с от прямолинейного бесконечного проводника с током  $I = 100$  А рамке размерами  $10 \text{ см} \times 8 \text{ см}$  в тот момент, когда она находится на расстоянии 15 см от проводника (рис. 3.8).

3.28. В области значений  $0 \leq r \leq 2$  цилиндрической системы координат задано поле вектора электрического смещения  $\bar{D} = (4r^{-1} + 2e^{-0.5r} + 4re^{-0.5r}) \bar{r}_0$ , а в области  $r > 2$

$\bar{D} = \left( \frac{2,057}{r} \right) \bar{r}_0$ . Найти объемную плотность заряда в обеих областях.

3.29. Найти ЭДС, наводимую в проводящем стержне, движущемся в постоянном магнитном поле  $\bar{B} = 0,04 \bar{y}_0$  Т со скоростью  $\bar{v} = 2,5 \sin 10^3 t \cdot \bar{z}_0$ . Длина стержня  $l = 0,2$  м (рис. 3.9).

3.30. Поле вектора электрического смещения в сферической системе координат задано выражением  $\bar{D} = \frac{10}{r^2} [1 - e^{2r} (1 + 2r + 2r^2)] \bar{r}_0$ . Найти объемную плотность заряда  $\rho$ , создавшего данное поле.

3.31. В среде с параметрами  $\sigma = 5$  См/м и  $\varepsilon = 1$  напряженность электрического поля  $E = 250 \sin 10^6 t$  В/м. Найти плотности токов проводимости и смещения и частоту, на которой они равны.

#### 4. ГРАНИЧНЫЕ УСЛОВИЯ

Границные условия – это форма уравнений Максвелла для точек, принадлежащих граничной поверхности, в которых параметры среды меняются скачком или существуют поверхностные токи либо заряды. В этих точках уравнения Максвелла в дифференциальной форме теряют смысл и должны быть дополнены условиями, определяющими поведение векторов поля при переходе через границу сред.

Границные условия получаются из интегральных уравнений Максвелла с использованием предельных переходов. Исходя из первого уравнения Максвелла, определяющего циркуляцию напряженности магнитного поля:

$$\oint \bar{H} d\bar{l} = \int_{L} \bar{\delta} d\bar{s} + \frac{\partial}{\partial t} \int_{S} \bar{D} d\bar{s}, \quad (4.1)$$

получают граничные условия для касательных составляющих вектора  $\bar{H}$ :

$$[\bar{n}_0 (\bar{H}_1 - \bar{H}_2)] = \bar{\delta}_s \text{ или } \bar{H}_{\tau 1} - \bar{H}_{\tau 2} = [\bar{\delta}_s \cdot \bar{n}_0], \quad (4.2)$$

где  $\bar{n}_0$  – единичный вектор нормали к поверхности раздела, направленный в первую среду.

Это означает, что разность между касательными составляющими вектора  $\bar{H}_{\tau}$  на границе раздела равна поверхностному току.

При отсутствии последнего

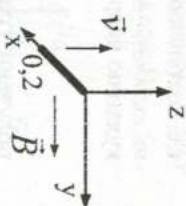


Рис. 3.9

т.е. составляющие непрерывны.

Исходя из второго уравнения Максвелла, определяющего широкуляцию напряженности электрического поля:

$$\oint \bar{E} d\bar{l} = - \frac{\partial}{\partial t} \int \bar{B} d\bar{s}, \quad (4.4)$$

получают граничные условия для касательных составляющих напряженности электрического поля:

$$[\bar{n}_0 (\bar{E}_1 - \bar{E}_2)] = 0 \text{ или } \bar{E}_{r1} = \bar{E}_{r2}, \quad (4.5)$$

которые на границе раздела сред непрерывны.

Третье уравнение Максвелла, определяющее поток вектора электрического смещения:

$$\oint \bar{D} d\bar{s} = \int \rho dV, \quad (4.6)$$

позволяет получить граничные условия для нормальных компонент вектора  $\bar{D}$ :

$$\bar{n}_0 (\bar{D}_1 - \bar{D}_2) = \rho_s \text{ или } D_{n1} - D_{n2} = \rho_s. \quad (4.7)$$

Аналогично из четвертого уравнения Максвелла о потоке вектора магнитной индукции

$$\oint \bar{B} d\bar{s} = 0 \quad (4.8)$$

получаются граничные условия для нормальных составляющих вектора  $\bar{B}$ :

$$\bar{n}_0 (\bar{B}_1 - \bar{B}_2) = 0 \text{ или } B_{n1} = B_{n2}. \quad (4.9)$$

Записанные выше граничные условия являются основными, они получаются непосредственно из уравнений Максвелла. Граничные условия для составляющих  $H_n$ ,  $E_n$ ,  $B_r$  и  $D_r$  получают, используя соотношения (4.2), (4.5), (4.7), (4.9) и материальные уравнения состояния среды при отсутствии поверхностных токов или зарядов:

$$\bar{D} = \varepsilon_a \bar{E}, \quad \bar{B} = \mu_a \bar{H}. \quad (4.10)$$

### Задачи

4.1. По границе раздела сред протекает ток  $\bar{\delta}_s$ . В первой среде

$\bar{H}_1 = 0$ . Определить магнитное поле во второй среде вблизи поверхности.

4.2. По плоской поверхности раздела металл-диэлектрик течет поверхностный ток  $\bar{\delta}_s = -y \bar{x}_0 + x \bar{y}_0$ . Найти уравнение силовых линий вектора  $\bar{H}_T$ .

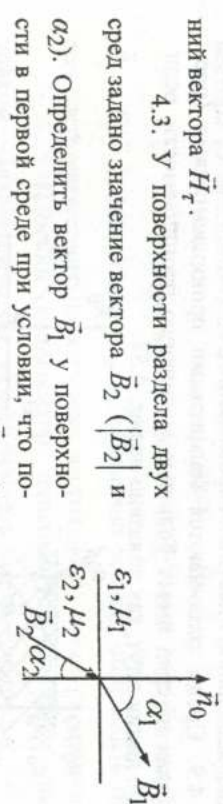


Рис. 4.1

4.4. У поверхности раздела двух сред задано значение вектора  $\bar{E}_2$  ( $|\bar{E}_2|$  и  $\alpha_2$ ). Определить вектор  $\bar{E}_1$  у поверхности в первой среде, если на границе раздела отсутствуют свободные заряды ( $\rho_s = 0$ ) (рис. 4.2).

4.5. Среды разделены заряженной поверхностью, и в одной из них поле отсутствует. Каково электрическое поле в другой среде, если поверхностная плотность заряда  $\rho_s$ , а диэлектрическая проницаемость второй среды  $\varepsilon_2$ ?

Рис. 4.2

4.6. На каком рисунке (рис. 4.3, а, б, в) изображены силовые линии электрического поля, магнитного поля, если вторая среда - идеальный проводник?

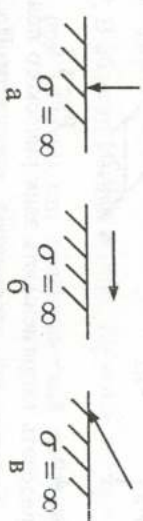


Рис. 4.3

4.7. У поверхности идеального проводника, совпадающей с плоскостью XOY, задан электрический потенциал  $\varphi = -Az$ . Определить поверхностную плотность заряда, если среда над проводником - вакум.

4.8. Определить, по какому закону преломляются силовые линии.

ни вектора  $\vec{B}$  при переходе из среды с параметрами  $\varepsilon_0, \mu_0$  в среду с параметрами  $\varepsilon_a, \mu_a$ . Показать, что силовые линии на входе и выходе плоскогармонической пластины параллельны (рис. 4.4).

4.9. Среды различаются магнитными проницаемостями (рис. 4.5). Какая из сред имеет большую магнитную проницаемость, если силовые линии идут, как показано на рис. 4.5?

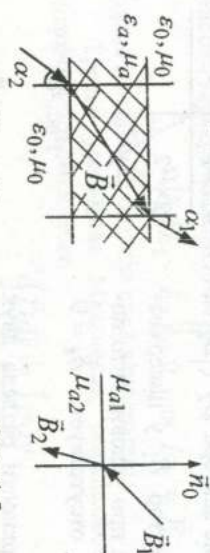


Рис. 4.4

4.10. Среды с плоской границей раздела различаются диэлектрическими проницаемостями. Угол преломления  $\phi_2 = \pi/2$  (рис. 4.6). Какое соотношение при этом должно выполняться между  $\varepsilon_{a1}$  и  $\varepsilon_{a2}$ ?

4.11. У поверхности идеального проводника в плоскости  $XOY$  задано магнитное поле  $\vec{H} = 3\vec{y}_0$  А/м (рис. 4.7). Чему равен ток, протекающий по участку поверхности  $XOY$  в виде ленты, расположенной по оси  $X$ , шириной  $l = 0,2$  м?

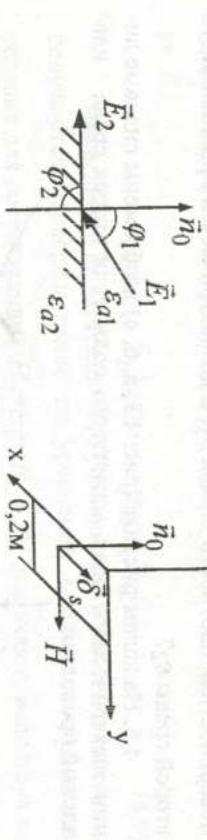


Рис. 4.7

4.12. Определить напряженность электрического поля на расстоянии  $h$  от бесконечной заряженной плоскости. Плотность поверхностиного заряда  $\rho_s$ .

4.13. Показать, что на поверхности раздела двух проводников линии тока испытывают преломление по закону  $\frac{\operatorname{tg} \alpha_1}{\operatorname{tg} \alpha_2} = \frac{\sigma_1}{\sigma_2}$ , где  $\alpha_1$ ,  $\alpha_2$  – углы между линиями тока и нормалью к поверхности раздела  $\vec{n}_0$ ,

$\sigma_1, \sigma_2$  – проводимости сред.

Показать, что на поверхности раздела двух диэлектриков линии вектора  $\vec{D}$  преломляются по закону  $\frac{\operatorname{tg} \alpha_1}{\operatorname{tg} \alpha_2} = \frac{\varepsilon_1}{\varepsilon_2}$ .

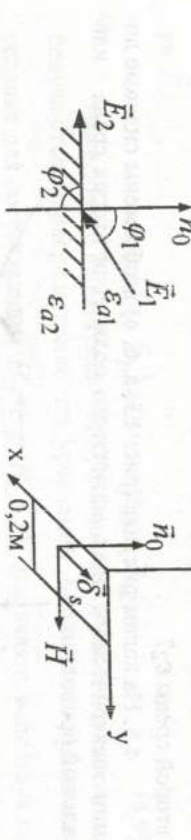
4.14. По бесконечной плоскости  $XOY$  течет ток с плотностью  $\bar{\delta}_s = \delta_s \vec{y}_0$ . Считая плоскость бесконечно тонкой, определить напряженность магнитного поля в точке, отстоящей от нее на расстоянии  $h$ .

4.15. Плоский конденсатор заполнен двухслойным диэлектриком. Диэлектрическая проницаемость первого слоя  $\varepsilon_{a1} = 2\varepsilon_0$ , удельная проводимость  $\sigma_1 = 10^8$  См/м. Для второго слоя –  $\varepsilon_{a2} = 4\varepsilon_0$ ,  $\sigma_2 = 10^7$  См/м. Толщина слоев  $d_1 = 2d_2 = 4$  см. Разность потенциалов между обкладками  $U = 100$  В. Найти поверхностную плотность зарядов  $\rho_s$  на границе раздела диэлектриков в установленном режиме и плотность тока проводимости. При каких параметрах диэлектриков  $\rho_s = 0$ ? Поле считать однородным.

4.16. Цилиндр радиусом  $a$ , заряженный равномерно с поверхностной плотностью  $\rho_s$ , вращается вокруг оси со скоростью  $\omega$ . Вычислить напряженность магнитного поля у поверхности цилиндра, если

$$a = 10 \text{ см}; \omega = 8\pi \text{ 1/c}; \rho_s = 10^{-17} \text{ Кл/м}^2.$$

4.17. На границе раздела двух сред ( $\varepsilon_1 = 2; \varepsilon_2 = 5$ ) известен вектор  $\vec{E}_1 = 2\vec{x}_0 - 3\vec{y}_0 + 5\vec{z}_0$  В/м. Найти вектор  $\vec{D}_2$  и углы  $\alpha_1$  и  $\alpha_2$ , если  $\rho_s = 0$  (рис. 4.8).



4.18. В области I задан вектор  $\vec{H}_1 = 4\vec{x}_0 + 3\vec{y}_0 - 6\vec{z}_0$  А/м. Найти  $|\vec{H}_2|$  и  $\alpha_2$  при условии, что поверхностный ток отсутствует;  $\mu_1 = 3$ ;  $\mu_2 = 5$  (рис. 4.9).

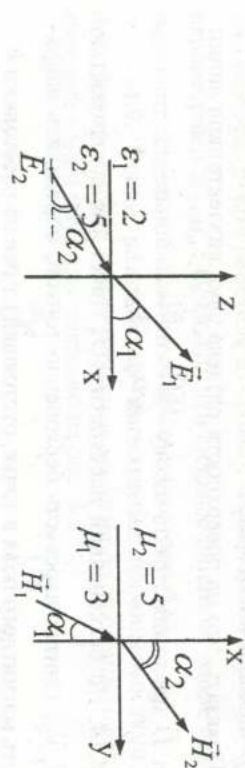


Рис. 4.8

4.19. В области 1 ( $z < 0$ ) известен вектор  $\vec{E}_1 = -3\vec{x}_0 + 4\vec{y}_0 - 2\vec{z}_0$  В/м;  $\varepsilon_1 = 6$ . Найти  $\vec{E}_2$  в области 2 ( $z > 0$ ), если  $\varepsilon_2 = 2$ , а поверхностная плотность заряда на границе раздела  $\rho_s = 0$ .

4.20. В области 1 ( $z < 0$ )  $\mu_1 = 3$ , а вектор

$$\vec{H}_1 = \frac{1}{\mu_0} (0,2\vec{x}_0 + 0,5\vec{y}_0 + \vec{z}_0) \text{ А/м} \quad (\text{рис. 4.10}). \text{ Найти } \mu_2, \vec{H}_2, \text{ если}$$

$$\alpha_2 = 45^\circ, \bar{\delta}_s = 0.$$

4.21. По поверхности раздела двух сред ( $z = 0$ ) течет ток с поверхностью плотностью  $\bar{\delta}_s = 9\vec{y}_0$  (рис. 4.11). Известен вектор  $\vec{H}_2 = 14,5\vec{x}_0 + 8\vec{z}_0$ . Найти вектор  $\vec{H}_1$ , если  $\mu_1 = 4; \mu_2 = 3$ .

4.22. В плоскости  $x = 0$  течет поверхностный ток с плотностью  $\delta_s$  (рис. 4.12). В области 1 ( $x < 0$ ) вектор  $\vec{B}_1 = 6\vec{x}_0 + 4\vec{y}_0 + 10\vec{z}_0$  Т,  $\mu_{al} = 2\mu_0$ . В области 2 ( $x > 0$ )  $-\vec{B}_2 = 6\vec{x}_0 - 50,96\vec{y}_0 + 8,96\vec{z}_0$  Т,  $\mu_{a2} = 7\mu_0$ . Найти  $\bar{\delta}_s$ .

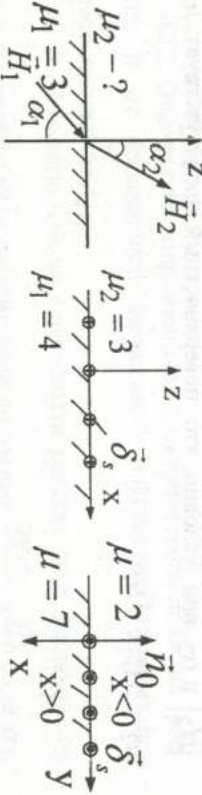


Рис. 4.10

Рис. 4.11

Рис. 4.12

$+ 6\vec{z}_0$  Кл/м<sup>2</sup> (рис. 4.13). Найти вектор  $\vec{E}_2$  и углы  $\theta_1$  и  $\theta_2$ , если во второй среде  $\varepsilon_2 = 2,4$ , а поверхностная плотность заряда на границе раздела равна 0.

4.24. В свободном пространстве 1 напряженность электрического поля  $\vec{E}_1 = 3\vec{x}_0 - 5\vec{y}_0 + 3\vec{z}_0$  В/м. Область 2 – диэлектрик с  $\varepsilon_2 = 3,6$  (рис. 4.14). Найти угол  $\theta_2$ , если  $\rho_s = 0$ .

4.25. В области 1 ( $z < 0$ ) с  $\varepsilon_1 = 2$  напряженность электрического поля  $\vec{E}_1 = -3\vec{x}_0 + 4\vec{y}_0 - 2\vec{z}_0$  В/м (рис. 4.15). Найти напряженность электрического поля в области 2 ( $z > 0$ ) с  $\varepsilon_2 = 8$ , если  $\rho_s = 0$ .

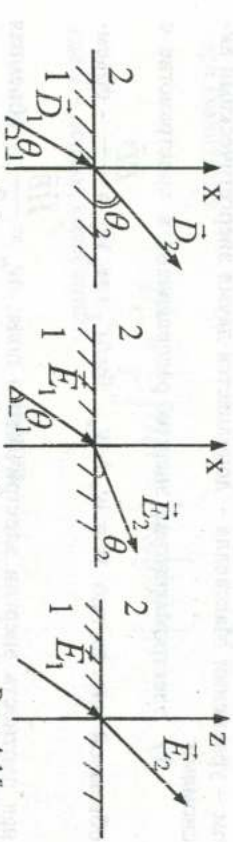


Рис. 4.13

Рис. 4.14

Рис. 4.15

4.26. На границе раздела двух сред ( $\varepsilon_1 = 2; \varepsilon_2 = 5$ ) известна напряженность электрического поля  $\vec{E}_1 = 2\vec{x}_0 - 3\vec{y}_0 + 5\vec{z}_0$  В/м (рис. 4.16). Найти  $\vec{D}_2$ ,  $\theta_1$  и  $\theta_2$ , если  $\rho_s = 0$ .

4.27. В области 1 ( $\mu_1 = 15$ ) (рис. 4.17) задан вектор  $\vec{B}_1 = 1,2\vec{x}_0 + 0,8\vec{y}_0 + 0,4\vec{z}_0$  (Т). Найти вектор  $\vec{H}_2$  во 2-й области ( $\mu_2 = 1$ ) и углы  $\alpha_1$  и  $\alpha_2$ .

4.28. На границе раздела двух сред ( $\varepsilon_1$  и  $\varepsilon_2$ ) силовые линии электрического поля образуют угол  $\varphi_1$  с направлением нормали к границе раздела (рис. 4.18). Найти ориентацию силовых линий  $\vec{E}_2$  во второй среде ( $\varphi_2$ ), если  $\rho_s = 0$ .

4.23. В области 1 ( $\varepsilon = 1$ ) задан вектор  $\vec{D}_1 = 3\vec{x}_0 - 4\vec{y}_0 +$

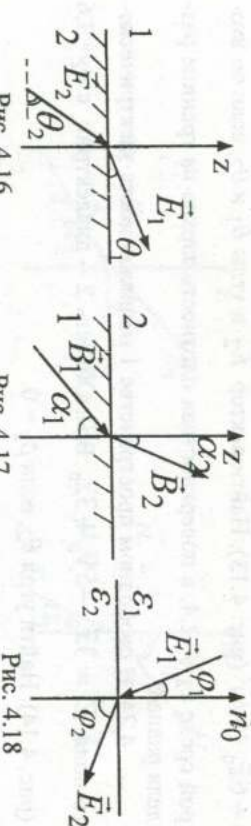


Рис. 4.16

Рис. 4.17

Рис. 4.18

## 5. ТЕОРЕМА ПОЙНТИНГА

В макроскопической электродинамике система основных аксиом – уравнений Максвелла – дополняется двумя энергетическими аксиомами:

1) электромагнитная энергия распределена в пространстве с

объемной плотностью  $w = w_s + w_m$ , Дж/м<sup>3</sup>, где  $w_s = \frac{\bar{E}\bar{D}}{2}$  – объем-

ная плотность энергии электрического поля;  $w_m = \frac{\bar{H}\bar{B}}{2}$  – объемная

плотность энергии магнитного поля;

2) величина и направление потока электромагнитной энергии характеризуется вектором Пойнтинга  $\bar{P} = [\bar{E}\bar{H}]$ .

С учетом этого закона сохранения энергии для электромагнитных процессов, происходящих в некотором объеме  $V$ , ограниченном поверхностью  $S$  (теорема Пойнтинга), имеет следующий вид:

$$P_{cm} = P_{nom} + \frac{dW}{dt} + P_S,$$

где  $P_{cm} = -\int_V \bar{E}\delta_{cm} dV$  – мощность сторонних сил;  $P_{nom} = \int_V \bar{E}\delta dV$  –

мощность тепловых потерь;  $W = \int_V w dV$  – электромагнитная энергия,

запасенная в объеме  $V$ ;  $P_S = \oint_S \bar{P} d\bar{s}$  – мощность, переносимая электромагнитным полем через поверхность  $S$ ;  $d\bar{s} = \bar{n}_0 dS$  – вектор, по

направлению совпадающий с внешней нормалью;  $\bar{n}_0$  – внешняя нормаль к поверхности  $S$ .

Таким образом, теорема Пойнтинга утверждает, что мощность сторонних сил, действующих в объеме  $V$ , расходуется на тепловые потери, изменение электромагнитной энергии и излучение за пределы объема.

Отметим, что слагаемые  $dW/dt$  и  $P_S$  могут быть как положительными, так и отрицательными;  $P_{cm}$  и  $P_{nom}$  всегда положительны.

Для полей, записанных в виде комплексных амплитуд, вводится комплексный вектор Пойнтинга  $\bar{P} = \frac{1}{2} [\dot{\bar{E}} \dot{\bar{H}}^*]$ . Среднее значение вектора Пойнтинга

$$\bar{P}_{cp} = \frac{1}{T} \int_0^T \bar{P} dt = \frac{1}{2} \operatorname{Re} [\dot{\bar{E}} \dot{\bar{H}}^*],$$

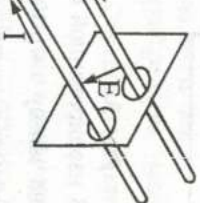
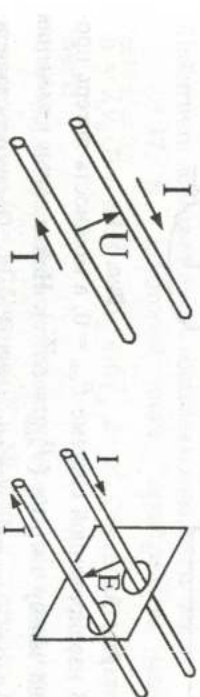
где  $T$  – период колебаний.

### Задачи

5.1. Вычислить энергию, запасенную в плоском конденсаторе. Разность потенциалов между пластинами  $U$ , площадь  $S$ , расстояние между пластинами  $d$ . Поле считать однородным. Вывести формулу для ёмкости конденсатора. Диэлектрическая проницаемость диэлектрика  $\epsilon_a$ .

5.2. Определить, с какой стороны к линии подключены генератор и нагрузка. Объяснить полученный результат (рис. 5.1).

5.3. Двухпроводная линия проходит через отверстия в идеально проводящем экране. Построить силовые линии вектора Пойнтинга близи экрана (рис. 5.2).



тора, чтобы запасенная в нем энергия равнялась 0,5 Дж? Конденсатор заряжен до напряжения  $10^3$  В, расстояние между пластинами  $d = 2$  мм,  $\varepsilon_d = 18\varepsilon_0$ .

5.5. По прямолинейному бесконечному проводнику радиусом  $a$  течет постоянный ток, плотность которого  $\bar{\delta}$ . Проводник находится в вакууме. Чему равна плотность энергии магнитного поля на расстоянии  $2a$  от оси проводника? Построить зависимость  $W_u = W(a)$ .

5.6. Магнитная и электрическая составляющие поля электромагнитной волны заданы формулами:

$$\left. \begin{aligned} \bar{H} &= H_0 e^{i(\omega t - k_y)} \bar{z}, \\ \bar{E} &= -120\pi H_0 e^{i(\omega t - k_y)} \bar{x}_0. \end{aligned} \right\}$$

Записать выражение для мгновенного значения вектора Пойнтинга и найти его среднее значение, если  $H_0 = 2$  А/м.

5.7. Плоский конденсатор подключается к источнику ЭДС величиной  $\mathcal{E}$ . Определить направление вектора Пойнтинга в точках 1, 2, 3, 4 в процессе заряда (рис. 5.3).

5.8. По цилиндрическому проводнику радиусом  $a$ , длиной  $l$  проходит ток с объемной плотностью  $\bar{\delta}$ . Проводимость материала проводника  $\sigma$ . Определить вектор Пойнтинга у поверхности проводника и его поток через эту поверхность. Объяснить полученный результат (рис. 5.4).

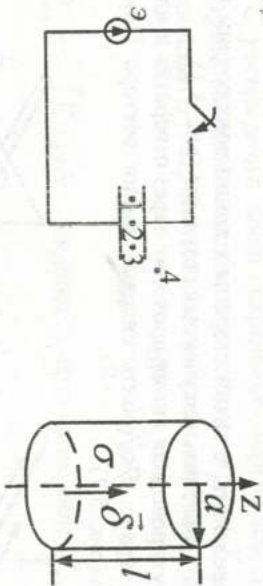


Рис. 5.4

**5.9.** В изолированной системе  $P_{cm} = 0$ , а мощность потерь приорнональна запасу энергии ( $P_{nom} = \alpha W$ ). Найти закон изменения энергии во времени, считая, что при  $t = 0$   $W = W_0$ . Построить зависимость  $W(t)$ .

5.10. Внутри области происходит преобразование энергиисто-

ронних сил в электромагнитную, однако поток вектора Пойнтинга через границу области отрицателен. Описать возможные варианты баланса энергии.

5.11. Воздух начинает ионизироваться при напряженности электрического поля  $E_{ion} = 3$  кВ/мм. Определить плотность потока ионизации плоских электромагнитных волн, при которой наступает ионизация. Частота колебаний достаточно мала для того, чтобы считать процесс ионизации безынерционным.

5.12. Показать с помощью вектора Пойнтинга, что вся энергия, передаваемая от источника к нагрузке в единицу времени по коаксциальному кабелю, канализируется по диэлектрику. Проводимость материала жилы и оболочки принять бесконечно большими.

5.13. Определить тангенс угла, составляемого вектором напряженности электрического поля с нормалью к поверхности жилы коаксиального кабеля. Жила и внешний проводник, выполненные из меди ( $\sigma = 5,8 \cdot 10^7$  См/м), имеют радиусы  $r_1 = 0,3$  см,  $r_2 = 1$  см. Напряжение  $U$  между жилой и оболочкой 10 кВ. Протекающий по кабелю постоянный ток  $I = 50$  А.

5.14. Существует ли различие между значениями вектора  $\bar{H}$  для электромагнитных волн, поляризованных по кругу и линейно поляризованных, если амплитуды  $\bar{E}$  и  $\bar{H}$  для них равны? Результаты связь с принципом суперпозиции для энергий, учитывая, что волна, поляризованная по кругу, есть сумма двух линейно поляризованных волн.

5.15. В плоском конденсаторе с размерами сторон 0,5 м и 1,0 м и расстоянием между пластинами 2 см разность потенциалов  $U = 10$  В. Найти запасенную в конденсаторе энергию и его ёмкость, если  $\varepsilon_d = 2\varepsilon_0$ .

5.16. Вектор  $\bar{E}$  в декартовой системе координат имеет единственную составляющую  $E_x$ , отличную от нуля. Показать, что вектор Пойнтинга не может иметь составляющую вдоль оси  $x$ .

5.17. В некоторой точке пространства заданы векторы  $\bar{E} = 2\bar{y}_0$  В/м и  $\bar{H} = 4\bar{x}_0 + 6\bar{z}_0$  Вт/м<sup>2</sup>. Определить вектор  $\bar{H}$  в этой точке.

5.18. Напряженность электрического поля распространяющейся в полистироле ( $\varepsilon = 2,25$ ) волны  $E = 50$  мВ/м. Определить вектор Пойнтинга этой волны.

5.19. Комплексные амплитуды векторов электромагнитного по-

ли в некоторой точке пространства заданы выражениями:

$$\vec{E} = 0,85 \cdot e^{j0,6} \vec{x}_0 - 1,3 \cdot e^{-j0,7} \vec{y}_0;$$

$$\vec{H} = 4,2 \cdot 10^{-3} e^{-j1,2} \vec{z}_0.$$

Определить комплексный вектор Пойнтинга  $\vec{P}$  и его среднее значение  $\bar{P}_{cp}$ .

5.20. В свободном пространстве в направлении оси  $z$  распространяется плоская волна с напряженностью электрического поля  $\vec{E}(z, t) = 50 \cos(\omega t - kz)$  В/м. Найти среднее значение вектора Пойнтинга и его поток через площадку радиусом 2,5 м, лежащую в плоскости  $z = \text{const}$  ( $\perp$  к оси  $z$ ).

5.21. Среднее значение вектора Пойнтинга в процессе распространения электромагнитной волны на расстоянии  $z = 2$  м уменьшается на 10 %. Определить коэффициент затухания волны.

5.22. Заряженный цилиндр с поверхностной плотностью  $\rho_s$  вращается с постоянной угловой скоростью  $\omega$  вокруг своей оси. Изобразить силовые линии вектора Пойнтинга у поверхности цилиндра.

5.23. Измерения световой энергии показали, что через каждый квадратный сантиметр поверхности, перпендикулярной к солнечным лучам, проходит 1 Вт/с. Считая поток параллельных лучей плоской электромагнитной волной, определить напряженности электрического и магнитного полей.

## 6. ЭЛЕКТРОСТАТИЧЕСКОЕ ПОЛЕ

**Основные уравнения и определения электростатического поля**

Система уравнений электростатики – частный случай системы уравнений Максвелла, когда  $\partial/\partial t = 0$ :

$$\int_L \vec{E} d\vec{l} = 0; \quad \int_S \vec{D} d\vec{s} = \int_V \rho dV,$$

$$rot \vec{E} = 0; \quad div \vec{D} = \rho.$$

Для описания электростатического поля вводится скалярная функция – потенциал  $\varphi$ . Напряженность электрического поля связана с потенциалом зависимостью  $\vec{E} = -grad \varphi$ .

Введенный таким образом потенциал неоднозначен и не имеет

физического смысла. Знак «-» показывает, что электрическое поле направлено из области положительного потенциала в область отрицательного потенциала.

Разность потенциалов между двумя точками численно равна работе по перемещению единичного положительного заряда между ними:

$$\varphi_1 - \varphi_2 = \int_1^2 \vec{E} d\vec{l}.$$

Эта величина не зависит от пути, по которому перемещается заряд.

Как следует из вышеприведенных формул, понятие разности потенциалов является точным лишь для полей, не зависящих от времени.

Для точечного заряда  $\varphi = \frac{q}{4\pi\epsilon_a r}$ ,  $\vec{E} = \frac{q}{4\pi\epsilon_a r^2} \vec{r}_0$ , где  $r$  – расстояние от заряда до точки наблюдения.

Для линейно распределенного заряда  $\varphi = \frac{1}{4\pi\epsilon_a} \int_L \frac{rdl}{r}$ ; для зарядов, распределенных по поверхности и объему, –  $\varphi = \frac{1}{4\pi\epsilon_a} \int_S \frac{\rho_s ds}{r}$  и

$$\varphi = \frac{1}{4\pi\epsilon_a} \int_V \frac{\rho dV}{r}$$
 соответственно. В этих формулах  $\tau$ ,  $\rho_s$  и  $\rho$  – линейная, поверхностная и объемная плотность зарядов.

Сила, действующая на заряд  $q$ ,  $\vec{F} = q\vec{E}$ .

Границные условия электростатики у поверхности проводника:

$$\frac{\partial \varphi}{\partial \tau} = 0; \quad \frac{\partial \varphi}{\partial n_s} = -\frac{\rho_s}{\epsilon_a}.$$

Это означает, что поверхность проводника в электростатическом поле экви potentialна.

Энергия электростатического поля

$$W_s = \frac{1}{2} \int_V \epsilon_a E^2 dV = \frac{1}{2} \int_V \rho \varphi dV,$$
 где  $V$  – полный объем,  $v$  – объем, занимаемый зарядами,  $\varphi$  – потенциал относительно бесконечно удаленной точки.

Емкость заряженного тела определяется как коэффициент пропорциональности между его потенциалом относительно бесконечно удаленной точки и зарядом, сосредоточенным на этом теле:  $q = C\varphi$ .

Конденсатор представляет собой систему двух проводников, несущих равные по величине и противоположные по знаку заряды. Его емкость  $C = \frac{|q|}{|\Delta\varphi|}$ , где  $q$  – величина заряда одного из тел;  $\Delta\varphi$  – разность потенциалов между ними.

В ряде электростатических задач для нахождения распределения зарядов, создающих в пространстве потенциал  $\varphi$ , полезно использовать уравнение Пуассона  $\nabla^2\varphi = -\frac{\rho}{\varepsilon_0}$  и уравнение Лапласа

$$\nabla^2\varphi = 0.$$

### Задачи

6.1. Потенциал некоторой области  $\varphi = \sum_{n=1}^k A_n \sin mx \sin ny$ . Является ли данная функция решением уравнения Лапласа?

6.2. На внутренней сфере расположена заряд  $+q$ . Вычислить поверхностную плотность заряда и положительный заряд внешней сферы, выполненной из идеального проводника (рис. 6.1).

6.3. Определить радиус уединенной сферы емкостью 1 Ф. Среда – вакуум.

6.4. Заряд с объемной плотностью  $\rho = \rho_0 r/a$  распределен в объеме шара радиусом  $a$ . Определить закон изменения напряженности и индукции электрического поля внутри и вне шара. Описать поведение векторов  $\bar{E}$  и  $\bar{D}$  при переходе границы шара – воздух. Вычислить энергию электрического поля, создаваемую заряженным шаром. Диэлектрическая проницаемость материала шара  $\varepsilon_G$ , среды –  $\varepsilon_0$ .

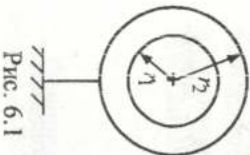


Рис. 6.1

6.5. Определить емкость, разность потенциалов между обкладками, напряженность поля и индукцию в диэлектриках, заполняющих двухслойный цилиндрический конденсатор. На единицу длины конденсатора приходится заряд  $q$  (рис. 6.3). Диэлектрические проницаемости слоев  $\varepsilon_{G1}$  и  $\varepsilon_{G2}$ .



Рис. 6.2

6.7. Положительный заряд равномерно распределен по кольцевой линии радиусом  $a$ . Диэлектрическая проницаемость среды  $\varepsilon_G$ . Линейная плотность заряда  $\tau$ . Найти потенциал и напряженность поля в точках, лежащих на оси кольца.

6.8. Положительный заряд  $q$  равномерно распределен на плоском круглом диске радиусом  $a$ . Найти напряженность электрического поля  $\bar{E}$  и потенциал  $\varphi$  точек, лежащих на оси  $z$ , нормальной к диску и проходящей через его центр (рис. 6.5). Диэлектрическая проницаемость среды  $\varepsilon_G$ .

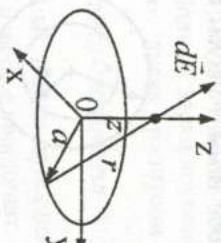


Рис. 6.4

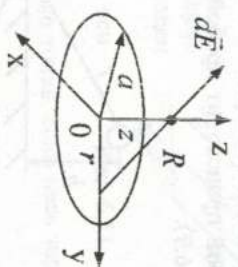


Рис. 6.5

6.9. В поле заряженного шара найти радиусы эквипотенциальных поверхностей, потенциалы которых отличаются друг от друга на  $10 \text{ В}$ ;  $r_{in} = 1 \text{ мм}$ ;  $q = 8,89 \cdot 10^{-11} \text{ Кл}$ . Шар находится в воздухе.

6.10. Используя теорему Гаусса, показать, что напряженность электрического поля на расстоянии  $r$  от бесконечного тонкого провода  $E_r = \tau / 2\pi\varepsilon_0 r$ , где  $\tau$  – линейная плотность заряда  $q$  (рис. 6.2).

6.6. Определить погонную емкость, разность потенциалов между обкладками, напряженность поля и индукцию в диэлектриках, заполняющих двухслойный цилиндрический конденсатор. На единицу длины конденсатора приходится заряд  $q$  (рис. 6.3). Диэлектрические проницаемости слоев  $\varepsilon_{G1}$  и  $\varepsilon_{G2}$ .

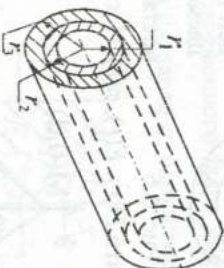


Рис. 6.3



Рис. 6.6

- 6.11. Объемный заряд с плотностью  $\rho_0$  равномерно распределен между двумя концентрическими сферическими поверхностями. Радиус внешней поверхности  $b$ , радиус внутренней поверхности  $a$ . Дизэлектрическая проницаемость среды между сферическими поверхностями  $\epsilon_a$ , окружающей среды –  $\epsilon_0$  (рис. 6.6). Найти  $D(r)$ ,  $E(r)$ ,  $\phi(r)$ . Построить графики поля.

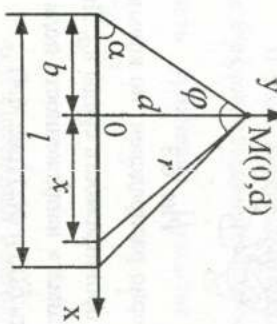


Рис. 6.7

- (рис. 6.8).
- 6.12. Вдоль прямолинейного отрезка длиной  $l$  распределен заряд с линейной плотностью  $\tau$ . Найти потенциал поля в точке  $M$ , отстоящей на расстоянии  $d$  от заряженной нити. Дизэлектрическая проницаемость среды  $\epsilon_0$  (рис. 6.7).

6.13. Точечный заряд  $q$  находится на расстоянии  $h$  от бесконечно проводящей плоскости. Определить плотность электрического заряда, образовавшегося в различных точках плоскости вследствие электростатической индукции (рис. 6.8).

- 6.14. Определить величину заряда сферического конденсатора, при котором будет обеспечен трехкратный запас по пробивному напряжению дизэлектрик – воздух. Напряженность поля в воздухе, при которой происходит пробой, равна 3000 В/мм. Радиусы сфер  $r_1$  и  $r_2$  (рис. 6.9).

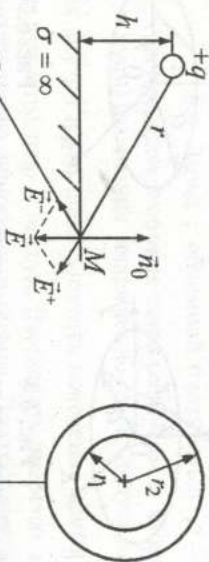


Рис. 6.9

- 6.15. Металлический шар радиусом 0,2 м несет на себе заряд  $q = 6 \cdot 10^{-5}$  Кл. Дизэлектрическая проницаемость среды  $\epsilon_a = 3\epsilon_0$ . Подсчитать энергию электрического поля.

- 6.16. Найти распределение зарядов  $\rho(r')$ , создающих в вакууме потенциал  $\varphi = q \frac{\exp(-r/a)}{r}$ . Указание: использовать уравнение Пуассона.

- 6.17. Вычислить энергию равномерно заряженного шара радиуса  $a$ . Дизэлектрическая проницаемость шара  $\epsilon_a$ , заряд  $q$ , окружающая среда – вакуум.

- 6.18. Вывести формулы для определения напряженности поля и емкости двухслойного плоского конденсатора, а также построить графики изменения модулей векторов напряженности электрического поля, модуля вектора электрической индукции  $\bar{D}$  и потенциала  $\varphi$  в функции расстояния  $x$ . Толщина первого слоя диэлектрика  $d_1$ , второго –  $d_2$ . Дизэлектрическая проницаемость первого слоя –  $\epsilon_{a1}$ , второго –  $\epsilon_{a2}$ . Разность потенциалов между обкладками конденсатора равна  $u$ . Площадь пластин конденсатора –  $S$  (рис. 6.10).

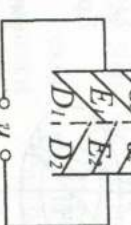


Рис. 6.10

- 6.19. Заряд равномерно с линейной плотностью  $\tau = 10^{-9}$  Кл/м распределен по периметру квадрата со стороной 6 м (рис. 6.11).

- $\epsilon_a = \epsilon_0$ . Найти потенциал в точке  $(0,0,5)$  м. 6.20. Полный заряд круглого равномерно заряженного диска радиусом 2 м равен 40 пКл. Найти потенциал в точке на оси

Рис. 6.11

- диаметра (0,0,2 м). Найти потенциал в этой же точке, если весь заряд сосредоточен в начале координат.

- 6.21. В кубе с размером сторон, равным 1 м, задан потенциал  $\varphi = 3x^2 + 4y^2$  (В).  $\epsilon_a = \epsilon_0$ . Найти энергию, запасенную в кубе.

- 6.22. В воздушном пространстве между соосными цилиндрическими поверхностями радиусами  $r_1 = 0,01$  м и  $r_2 = 0,05$  м электрическое поле  $\bar{E} = \left(\frac{10^5}{r}\right)\vec{r}_0$ . Найти энергию, сосредоточенную между

этими цилиндрами высотой 0,5 м.

6.23. Положительный заряд  $q$  равномерно распределен по объему шара радиусом  $a$ . Найти напряженность электрического поля  $\vec{E}$  и потенциал  $\varphi$  внутри и вне шара. Дизэлектрическая проницаемость материала шара и среды  $\epsilon_d$ .

- 6.24. Определить емкость и электрическую энергию поля плоского конденсатора с площадью обкладок  $S = 100 \text{ см}^2$  и расстоянием между ними  $d = 1 \text{ мм}$ . Конденсатор заряжен до напряжения  $U = 400 \text{ В}$  и заполнен дизэлектриком с  $\epsilon_d = 3\epsilon_0$ . Краевым эффектом пренебречь.
- 6.25. Нить длиной  $2L$  равномерно заряжена с линейной плотностью  $\tau$ . Точки 1 и 2 лежат в плоскости, перпендикулярной к нити и проходящей через ее середину (рис. 6.12). Найти разность потенциалов  $\varphi_{12}$ , если
- $$L \gg r_1, L \gg r_2, \epsilon_d = \epsilon_0.$$

6.26. Шар радиусом  $a$  с центром в начале сферической системы координат имеет потенциал:

$$\varphi = \begin{cases} \varphi_0 & \text{при } r \leq a, \\ \frac{\varphi_0 a}{r} & \text{при } r > a. \end{cases}$$

Составить выражения для запасенной энергии и полного заряда на поверхности шара.

6.27. Вывести выражение для напряженности электрического поля  $\vec{E}$ , созданного бесконечной равномерно заряженной плоскостью с поверхностной плотностью  $\rho_s$ , на оси  $z$  (рис. 6.13).  $\epsilon_d = \epsilon_0$ .

6.28. На поверхностях концентрических цилиндрических проводников радиусами  $r_1 = 1 \text{ мм}$  и  $r_2 = 20 \text{ мм}$  потенциалы соответственно равны  $\varphi_1 = 75 \text{ В}$ ,  $\varphi_2 = 0 \text{ В}$ . Используя уравнение Лапласа, определить вектор электрического смещения в



Рис. 6.13

пространстве между проводниками, если  $\epsilon = 3\epsilon_0$ .

6.29. В декартовой системе координат потенциал  $\varphi$  зависит только от  $x$ . При  $x = -2 \text{ см}$   $\varphi = 25,0 \text{ В}$ ,  $\vec{E} = 1,5 \cdot 10^3 (-\vec{x}_0) \text{ В/м}$ . Используя уравнение Лапласа, найти  $\varphi$  при  $x = 3 \text{ см}$ .

6.30. Найти зависимость потенциала  $\varphi$  и напряженности электрического поля  $\vec{E}$  от расстояния  $r$  в пространстве между двумя концентрическими цилиндрами, если при  $r_1 = 1 \text{ мм}$   $\varphi_1 = 0$ , а при  $r_2 = 20 \text{ мм}$   $\varphi_2 = 150 \text{ В}$  (рис. 6.14). Краевой эффект не учитывать. Указание: использовать уравнение Лапласа.

6.31. В декартовой системе координат потенциал плоскости  $z = 3 \text{ см}$ ,  $\varphi = 0$ . Найти потенциал и поверхностную плотность заряда плоскости  $z = 0$ , если напряженность поля между плоскостями  $\vec{E} = 6,67 \cdot 10^3 \vec{z}_0 \text{ В/м}$ , а  $\epsilon = 4,5$ .

6.32. В сферической системе координат потенциал зависит только от  $r$ . При  $r = 15 \text{ мм}$   $\varphi = 0 \text{ В}$ , а при  $r = 110 \text{ мм}$   $\vec{E} = -334,7 \vec{r}_0 \text{ В/м}$ . Используя уравнение Лапласа, найти потенциал  $\varphi$  при  $r = 200 \text{ мм}$ .

6.33. Воспользовавшись уравнением Лапласа, найти зависимость векторов  $\vec{E}$  и  $\vec{D}$  от расстояния  $r$  в пространстве между двумя сферическими концентрическими поверхностями, если известно, что при  $r = 0,1 \text{ м}$   $\varphi = 0$ , при  $r = 2 \text{ м}$   $\varphi = 100 \text{ В}$ ,  $\epsilon_d = \epsilon_0$ .

6.34. В заряженном цилиндре объемная плотность заряда

$\rho = 5r \exp(-2r) \text{ Кл/м}^3$ . Используя теорему Остроградского – Гаусса, найти  $D(r)$ .

6.35. Найти разность потенциалов между конусами с углами  $\theta_1 = 30^\circ$  и  $\theta_2 = 45^\circ$ , если при  $r = 0,25 \text{ м}$  и  $\theta = 30^\circ$  напряженность поля  $\vec{E} = -2,3 \cdot 10^3 \vec{\theta}_0 \text{ В/м}$  (рис. 6.15). Потенциал зависит только от  $\theta$ . Указание: использовать уравнение Лапласа.

6.36. В пространстве между двумя круглыми концентрическими цилиндрами известна объемная плотность заряда  $\rho(r)$ . Используя уравнение Пуассона, записать выражение для потенциала

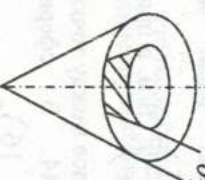


Рис. 6.15

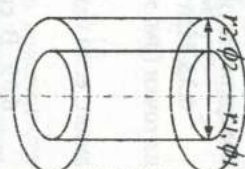


Рис. 6.14

$\varphi(r)$  с точностью до постоянных интегрирования А и В.

6.37. Найти зависимости  $\bar{E}(r)$  и  $\bar{D}(r)$  в пространстве между двумя сферическими концентрическими поверхностями, если при  $r = 2$  см  $\varphi = -25$  В, при  $r = 35$  см  $\varphi = 150$  В,  $\varepsilon_0 = 3,12\varepsilon_0$ . Определить поверхностную плотность заряда  $\rho_s$  на каждом проводнике.

6.38. Найти работу по перемещению точечного заряда  $q=3 \cdot 10^{-6}$  Кл из точки (4м,  $\pi$ , 0) в точку (2м,  $\pi/2$ , 2м) цилиндрической системы координат, если напряженность поля  $\bar{E} = \left(\frac{10^5}{r}\right)\vec{r}_0 + 10^5 z \cdot \vec{z}_0$ .

6.39. В свободном пространстве потенциал  $\varphi = 2x + 4y$ . Найти энергию кубического метра объема с вершиной куба в начале координат.

6.40. В области значений  $0 \leq \psi \leq \frac{\pi}{6}$  цилиндрической системы координат известно распределение потенциала  $\varphi = \left(-\frac{60\psi}{\pi}\right)$  В. Найти энергию, запасенную в объеме, ограниченном  $0,1 \leq r \leq 0,6$ ;  $0 \leq z \leq 1$ ;  $0 \leq \psi \leq \pi/6$ .

6.41. Точечный заряд  $q = 0,4$  нКл расположен в точке (2, 3, 3) м в декартовой системе координат. Найти разность потенциалов между точками  $A$  (2, 2, 3) м и  $B$  (-2, 3, 3) м.

6.42. Найти потенциал точки  $A$  ( $r_A = 5$  м) относительно точки  $B$  ( $r_B = 15$  м), созданный точечным зарядом  $q = 500$  пКл, а также потенциал каждой точки относительно бесконечности.

6.43. В области значений  $0 < r \leq 2,7$  м цилиндрической системы координат задан вектор напряженности электрического поля  $\bar{E} = \left(\frac{5}{r}\right)\vec{r}_0$  В/м, а при  $r > 2,7$  м  $\bar{E} = 2,5\vec{r}_0$  В/м. Найти разность потенциалов между точками  $A$  (1м, 0, 0) и  $B$  (4м, 0, 0).

6.44. В сферической системе координат задано поле  $\bar{E} = \left(-\frac{16}{r^2}\right)\vec{r}_0$  В/м. Найти разность потенциалов между точками  $A$

(2м,  $\pi/2$ ) и  $B$  (4м, 0,  $\pi$ ) и потенциалы этих точек относительно бесконечности.

6.45. Расстояние  $l$  между двумя точечными зарядами  $q_1 = 2$  нКл и  $q_2 = -3$  нКл, расположеными в вакууме, равно 20 см (рис. 6.16). Определить напряженность  $E$  и потенциал  $\varphi$  поля, созданного этими зарядами в точке  $A$ , удаленной от первого заряда на расстояние  $r_1 = 15$  см и от второго заряда на  $r_2 = 10$  см.

6.46. В пространстве между двумя сферическими поверхностями задана объемная плотность заряда  $\rho$ . Используя уравнение Пуассона, записать выражение для вектора  $\bar{E}$ , если потенциал зависит только от  $r$ .

## 7. СТАЦИОНАРНОЕ МАГНИТНОЕ ПОЛЕ

### Основные уравнения стационарного магнитного поля

$$\int_L \bar{H} d\bar{l} = \int_S \bar{\delta} d\bar{s}; \quad rot \bar{H} = \bar{\delta};$$

$$\int_S \bar{B} d\bar{s} = 0; \quad div \bar{B} = 0; \quad \bar{B} = \mu_0 \bar{H}.$$

Закон Био - Савара  $d\bar{H} = \frac{I[\bar{dl}, \vec{r}_0]}{4\pi r^2}$ , где  $I$  – линейный ток;  $d\bar{l}$  –

длина элемента тока;  $r$  – расстояние от элемента тока до точки, в которой определяется  $d\bar{H}$ ;  $\vec{r}_0$  – единичный вектор, направленный от элемента тока к точке, в которой определяется  $d\bar{H}$  (точке наблюдения). Магнитный поток через поверхность  $S$ , ограниченную контуром  $L$ :

$$\Phi = \int_S \bar{B} d\bar{s}.$$

Индуктивность витка с током, равным  $I$ :

$$L = \frac{\Phi}{I}.$$

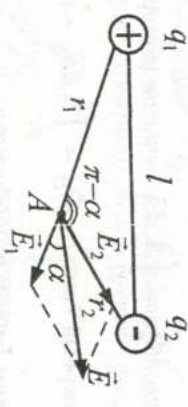


Рис. 6.16

$$M_{12} = \frac{\Phi_{12}}{I_2} = \frac{\Phi_{21}}{I_1} = M_{21},$$

где  $\Phi_{12} = \int_{S_1} \vec{B}_2 d\vec{s}_1$  – поток вектора  $\vec{B}_2$ , создаваемый током  $I_2$  через

первый контур;  $\Phi_{21} = \int_{S_2} \vec{B}_1 d\vec{s}_2$  – поток вектора  $\vec{B}_1$ , создаваемый то-

ком  $I_1$  через второй контур.

### Задачи

7.1. Рассчитать напряженность магнитного поля на оси круглого плоского витка радиусом  $a$ , по которому протекает ток  $I$  (рис. 7.1).

7.2. Рассчитать напряженность магнитного поля коаксиального кабеля, приняв, что по центральному проводнику и оболочке текут одинаковые токи  $I$  в разных направлениях (рис. 7.2). Построить  $H(r)$ .

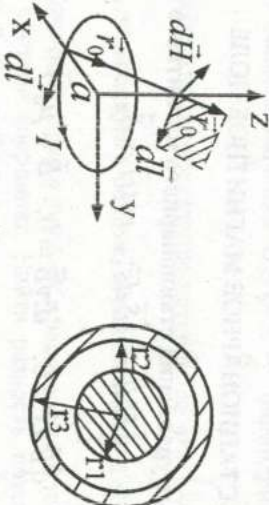


Рис. 7.1

Рис. 7.2

7.3. Найти взаимную индуктивность двух витков (рис. 7.3, а, б, в).

$$r_2 \gg r_1$$

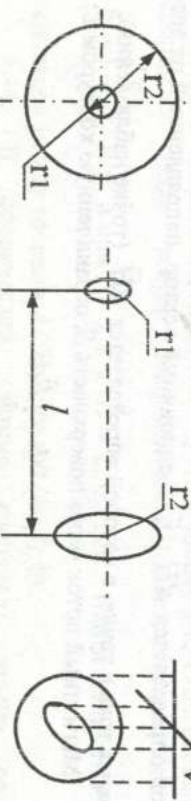


Рис. 7.3

в

7.4. Рассчитать напряженность магнитного поля цилиндрической трубы, по которой протекает ток  $I$  (рис. 7.4). Построить  $H(r)$ .

7.5. Определить напряженность магнитного поля на оси длинного соленоида, содержащего  $n$  витков на единицу длины. Сила тока в соленоиде  $I$ , радиус витка  $a$ , длина  $l \gg a$  (рис. 7.5).

7.6. Длинный провод согнут в форме спиральки, показанной на рисунке. Найти точное выражение для магнитного поля в точке 0 (рис. 7.6).

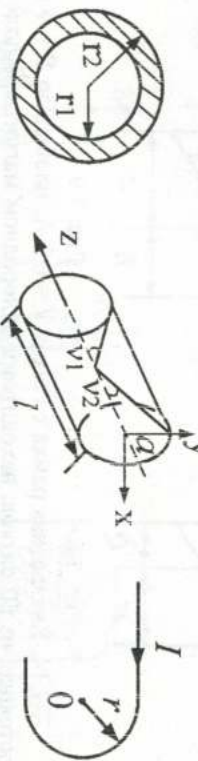


Рис. 7.4

Рис. 7.5

Рис. 7.6

7.7. Вычислить магнитную энергию, сосредоточенную внутри цилиндрического проводника единичной длины, по которому протекает ток  $I$ . Магнитная проницаемость проводника  $\mu_0$ . Построить  $H(r)$ .

7.8. Три параллельных провода радиусом  $r$  расположены так, что расстояния между ними равны  $r_{12}$ ,  $r_{23}$ ,  $r_{13}$ . Определить погонную взаимную индуктивность  $M_{12}$ ,  $M_{13}$ , т. е. петли 12 и петли 13 (рис. 7.7).

7.9. Определить взаимную индуктивность на 1 км длины двух параллельных двухпроводных линий передачи, провода которых расположены в углах квадрата со стороной 1 м.

7.10. Полый медный провод имеет радиусы  $r_1$  и  $r_2$ . Определить собственную индуктивность отрезка провода длиной  $l$ , полагая плотность тока одинаковой по всему сечению проводника (рис. 7.3).

7.11. Проволочная рамка в форме равнобедренной трапеции находится в воздухе в одной плоскости с длинным проводом, по которому течет ток  $I$ . Определить взаимную индуктивность между проводом и рамкой (рис. 7.8).

7.12. Определить индуктивность двухпроводной линии передачи длиной  $l = 10$  км при расстоянии  $d = 2$  м между проводами, считая, что по ним протекают равные токи в противоположных направлениях. Радиус проводов  $r = 6$  мм.

7.13. Определить взаимную индуктивность треугольной петли и бесконечного одиночного проводника с током  $I$  (рис. 7.9).

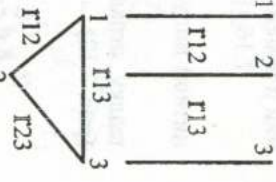


Рис. 7.7

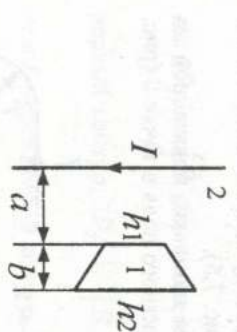


Рис. 7.8

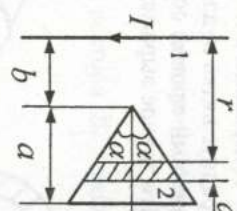


Рис. 7.9

7.14. Квадратная рамка с током  $I = 0,2$  А, площадью  $S = 9 \text{ см}^2$ , состоящая из 50 витков, находится в однородном магнитном поле напряженностью  $H = 10 \text{ А/м}$ . Угол между нормалью  $\vec{n}_0$  рамки и вектором  $\vec{H}$  составляет  $50^\circ$ . Определить момент пары сил, действующих на рамку (рис. 7.10).

7.15. Определить взаимную индуктивность двухпроводной линии и рамки, лежащей в плоскости линии (рис. 7.11).

7.16. В цилиндрической системе координат задан вектор магнитной индукции  $\vec{B} = \left(\frac{2}{r}\right)\vec{\varphi}_0$ . Найти поток этого вектора через площадку, ограниченную координатами  $0,5 \text{ м} \leq r \leq 2,5 \text{ м}$ ;  $0 \leq z \leq 2 \text{ м}$  (рис. 7.12).

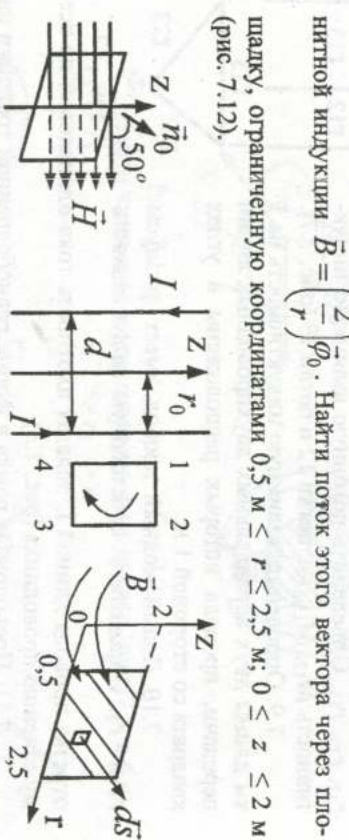


Рис. 7.10

Рис. 7.11

7.17. Найти магнитный поток через площадку, ограниченную координатами  $\varphi = \pi/4$ ;  $0,01 \text{ м} < r < 0,05 \text{ м}$ ;  $0 < z < 2 \text{ м}$ , если ток, протекающий по прямолинейному проводнику вдоль оси  $z$ , равен  $I = 2,5 \text{ А}$ ,  $\mu_0 = \mu_0$  (рис. 7.13).

7.18. Найти индуктивность коаксиального кабеля единичной длины по данным, указанным на рис. 7.14.

7.19. В свободном пространстве в цилиндрической системе координат вектор  $\vec{H}$  имеет одну составляющую  $\vec{H} = \frac{2,39 \cdot 10^6}{r} \cos \vec{r}_0$ .

Найти магнитный поток через поверхность, ограниченную  $-\frac{\pi}{4} \leq \varphi \leq \frac{\pi}{4}$ ;  $0 \leq z \leq 1$  (рис. 7.15).

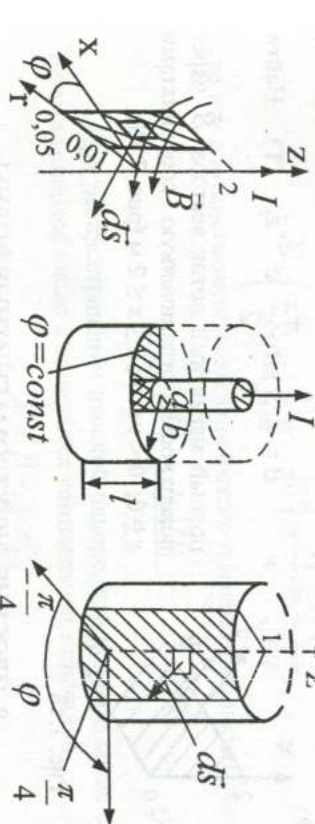


Рис. 7.13

Рис. 7.14

7.20. По двум бесконечно длинным прямым параллельным проводникам, расстояние между которыми  $d = 15 \text{ см}$ , текут токи  $I_1 = 70 \text{ А}$  и  $I_2 = 50 \text{ А}$  в одном направлении. Определить магнитную индукцию  $B$  в точке  $P$ , удаленной на  $r_1 = 10 \text{ см}$  от первого и на  $r_2 = 20 \text{ см}$  от второго проводника (рис. 7.16).

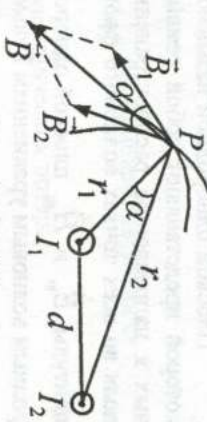


Рис. 7.15

7.21. Магнитная индукция  $B$  на оси торида без сердечника (внешний диаметр торида  $d_1 = 60 \text{ см}$ , внутренний  $- d_2 = 40 \text{ см}$ ), содержащего  $N = 200$  витков, составляет  $0,16 \text{ мГл}$ . Пользуясь теоремой о циркуляции вектора  $\vec{B}$ , определить силу тока в обмотке торида.

7.22. В однородном магнитном поле с индукцией  $B = 0,1 \text{ Тл}$  помещена квадратная рамка площадью  $S = 24 \text{ см}^2$ . Нормаль к плоскости рамки составляет с направлением магнитного поля угол  $60^\circ$ . Определить момент пары сил (вращающий момент), если по рамке протекает ток  $I = 1 \text{ А}$ .

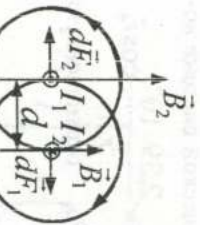


Рис. 7.17

7.23. По двум параллельным прямым проводникам, длиной  $l = 2$  м каждый, находящимся в вакууме на расстоянии  $d = 10$  см, в противоположных направлениях текут токи  $I_1 = 50$  А и  $I_2 = 100$  А (рис. 7.17). Определить силу взаимодействия токов.

7.24. Задано поле вектора

$$\vec{B} = 2.5 \left( \sin \frac{\pi x}{2} \right) e^{-2y} \vec{z}_0 \text{ (Т). Найти}$$

полный магнитный поток вектора  $\vec{B}$  через поверхность, ограниченную координатами  $z = 0; 0 < y < \infty; 0 \leq x \leq 2$  м (рис. 7.18).

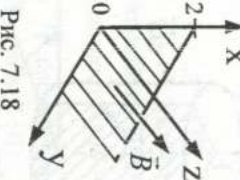


Рис. 7.18

## 8. ПЛОСКИЕ ЭЛЕКТРОМАГНИТНЫЕ ВОЛНЫ

Плоской однородной называют волну, поверхности равных фаз которой представляют собой семейство плоскостей, перпендикулярных к направлению распространения волны, а амплитуды векторов поля во всех точках волнового фронта неизменны. Комплексные амплитуды  $\dot{\vec{E}}_m$  и  $\dot{\vec{H}}_m$  плоской однородной волны удовлетворяют однородным волновым уравнениям Гельмгольца

$$\nabla^2 \dot{\vec{E}}_m + k^2 \dot{\vec{E}}_m = 0; \quad \nabla^2 \dot{\vec{H}}_m + k^2 \dot{\vec{H}}_m = 0 \quad (8.1)$$

и в случае отсутствия потерь могут быть представлены в виде:

$$\dot{\vec{E}}_m = E_0 e^{-jkz} \vec{e}_0, \quad \dot{\vec{H}}_m = (E_0 / Z_c) e^{-jkz} \vec{h}_0, \quad \vec{e}_0 \perp \vec{h}_0 \perp \vec{z}_0, \quad (8.2)$$

где  $k := \omega \sqrt{\epsilon_a \mu_a}$  - волновое число;

$\omega$  - круговая частота;

$$Z_c = \sqrt{\mu_a / \epsilon_a} - волновое сопротивление среды;$$

$z$  - координата точки на направлении, вдоль которого распространяется волна.

Векторы поля  $\vec{E}$  и  $\vec{H}$  перпендикулярны друг к другу и к направлению распространения волны, они колеблются в фазе и образуют

с вектором Пойнтинга правую винтовую тройку. Вектор Пойнтинга является чисто вещественной величиной. Среднее за период значение его величины равно

$$\bar{P}_{cp} = \frac{1}{2} \operatorname{Re} [\dot{E} \dot{H}^*] = \frac{1}{2} H_m^2 Z_c \vec{z}_0. \quad (8.3)$$

Фазовая скорость и скорость переноса энергии плоской однородной волны совпадают со скоростью света в данной среде

$$|\vec{v}_\phi| = \frac{\omega}{k} = \frac{c}{\sqrt{\epsilon \mu}}, \quad |\vec{v}^*| = \frac{\Pi}{w} = \frac{c}{\sqrt{\epsilon \mu}}, \quad (8.4)$$

где  $w$  - плотность энергии электрического и магнитного полей, равная

$$w = \frac{\epsilon_a |E|^2}{2} + \frac{\mu_a |H|^2}{2}. \quad (8.5)$$

При распространении плоской однородной волны в среде с потерями волновое число  $k$  становится комплексной величиной

$$\dot{k} = \beta - j\alpha,$$

где  $\beta = \omega \sqrt{\frac{\epsilon_a \mu_a}{2} (1 + tg^2 \Delta + 1)}$  - коэффициент фазы,

$$\alpha = \omega \sqrt{\frac{\epsilon_a \mu_a}{2} (\sqrt{1 + tg^2 \Delta} - 1)} - коэффициент затухания,$$

$$tg \Delta = \frac{\sigma}{\omega \epsilon_a} - тангенс угла электрических потерь;$$

$\sigma$  - проводимость среды.

Комплексные амплитуды векторов поля  $\dot{\vec{E}}_m$  и  $\dot{\vec{H}}_m$  плоской однородной волны в среде с потерями при условии ориентации вектора  $\vec{H}$  вдоль оси  $z$  декартовой системы координат могут быть представлены в виде:

$$\left. \begin{aligned} \dot{\vec{E}}_m &= H_m Z_c \sqrt{\cos \Delta} e^{-\alpha z} e^{-j\beta z} e^{j\Delta/2} \vec{x}_0, \\ \dot{\vec{H}}_m &= H_m e^{-\alpha z} e^{-j\beta z} \vec{y}_0. \end{aligned} \right\} \quad (8.6)$$

Поверхности равных фаз и равных амплитуд совпадают, отношение комплексных амплитуд векторов  $\dot{\vec{E}}_m$  и  $\dot{\vec{H}}_m$  становится величиной

комплексной

$$\dot{Z}_c = \frac{\bar{E}_m}{\bar{H}_m} = \sqrt{\frac{\mu_a}{\epsilon_a} \cos \Delta e^{j\Delta/2}}, \quad (8.7)$$

что говорит о том, что между векторами  $\bar{E}_m$  и  $\bar{H}_m$  имеется место сдвиг по фазе, равный по величине  $\Delta/2$  и меняющийся в пределах от 0 до  $\pi/4$  в зависимости от величины удельной проводимости среды  $\sigma$ . Фазовая скорость становится меньше скорости света

$$v_\phi = \frac{\omega}{\operatorname{Re} k} = \frac{\omega}{\beta} = \frac{1}{\sqrt{\frac{\epsilon_a \mu_a}{2} (\sqrt{1 + tg^2 \Delta} + 1)}}, \quad (8.8)$$

причем имеет место зависимость фазовой скорости от частоты. Такое свойство носит название дисперсии, а среды, обладающие таким свойством, называются диспергирующими. Вектор Пойнтинга в этом случае оказывается комплексной величиной

$$\ddot{I} = \frac{1}{2} [\dot{\bar{E}} \bar{H}^*] = \frac{1}{2} H_m^2 |\dot{Z}_c| e^{-2\alpha z} e^{j\Delta/2} \bar{z}_0. \quad (8.9)$$

Комплексная амплитуда плоской однородной волны, распространяющейся в произвольном направлении  $\vec{l}$  (рис. 8.1), может быть представлена в виде:

$$\dot{\bar{H}}_m = H_m e^{-jk\vec{l}\cdot\vec{r}} = H_m e^{-jk(x \cos \varphi_x + y \cos \varphi_y + z \cos \varphi_z)} \bar{y}_0, \quad (8.10)$$

где  $x, y, z$  – координаты точки наблюдения  $M$ ;  
 $\varphi_x, \varphi_y, \varphi_z$  – углы, образованные направлением распространения волны и соответствующими осями декартовой системы координат.

При падении плоской однородной волны на плоскую границу раздела сред коэффициенты отражения  $R$  и прохождения  $T$  определяются формулами Френеля. При этом следует различать нормально поляризованную волну – вектор  $\bar{E}$  перпендикулярен к плоскости падения (рис. 8.2, а) и параллельно поляризованную волну – вектор  $\bar{E}$  параллелен плоскости падения (рис. 8.2, б). Под плоскостью падения понимают плоскость, проходящую через нормаль к

границе раздела и направление распространения волны (вектор Пойнтинга).

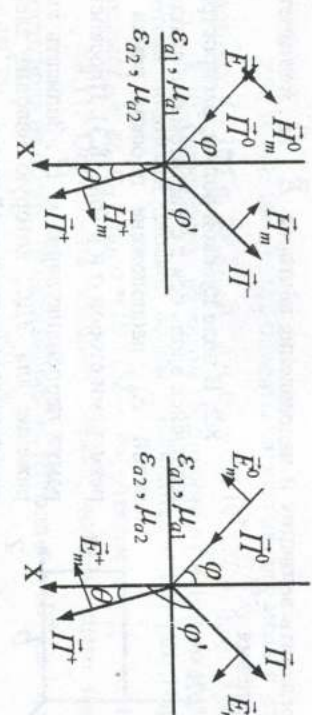


Рис. 8.2

Для нормально поляризованной волны формулы Френеля имеют вид:

$$R_\perp = \frac{Z_{c2} \cos \varphi - Z_{c1} \cos \theta}{Z_{c2} \cos \varphi + Z_{c1} \cos \theta}; \quad T_\perp = \frac{2Z_{c2} \cos \varphi}{Z_{c2} \cos \varphi + Z_{c1} \cos \theta}; \quad (8.11)$$

для параллельно поляризованной соответственно:

$$R_\parallel = \frac{Z_{c1} \cos \varphi - Z_{c2} \cos \theta}{Z_{c1} \cos \varphi + Z_{c2} \cos \theta}; \quad T_\parallel = \frac{2Z_{c2} \cos \varphi}{Z_{c1} \cos \varphi + Z_{c2} \cos \theta}. \quad (8.12)$$

В приведенных выше формулах  $\varphi$  – угол падения,  $\theta$  – угол преломления. Связь между ними устанавливается законами Снеллиуса:

- 1) угол падения равен углу отражения  $\varphi = \pi - \varphi'$ ;
- 2) отношение синуса угла преломления к синусу угла падения для диэлектриков без потерь равно отношению показателей преломления сред (для диэлектрических сред без потерь):

$$\frac{\sin \theta}{\sin \varphi} = \frac{n_1}{n_2} = \frac{\sqrt{\epsilon_1}}{\sqrt{\epsilon_2}}. \quad (8.13)$$

### Задачи

8.1. Плоская гармоническая линейно поляризованная электромагнитная волна распространяется в неограниченном пространстве в направлении  $z$ . Диэлектрическая проницаемость среды  $\epsilon_a = \epsilon_0$ , магнитная проницаемость  $\mu_a = \mu_0$ . Удельная проводимость  $\sigma = 0$ . Амп

туда напряженности электрического поля  $E_m = 50 \text{ мВ/м}$ . Угловая частота  $\omega = 10^8 \text{ 1/с}$ . Составить уравнение волны и определить ее параметры. Определить величину и направление векторов  $\vec{E}$ ,  $\vec{H}$ , плотности тока смещения  $\vec{\delta}_{cm}$ .

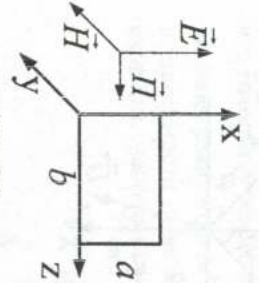


Рис. 8.3

8.2. В поле плоской волны, распространяющейся вдоль оси  $Z$  с частотой  $\omega$  и амплитудой  $E_0$ , расположена плоская рамка с размерами сторон  $a$  и  $b$  (рис. 8.3). Плоскость рамки перпендикулярна к  $\vec{H}$ . Записать выражение для ЭДС, которую наводит электромагнитная волна в этой рамке.

8.3. Плотность потока мощности эллиптически поляризованной волны равна  $20 \text{ Вт/м}^2$ . Вычислить плотность потока мощности для ортогональных компонент, если отношение осей эллипса поляризации  $0,5$ , а сдвиг фаз между ортогональными составляющими  $90^\circ$ .

8.4. На пути волны выделен кубический объем со стороной  $a = 1 \text{ м}$  (рис. 8.4). Найти заключенную в нем среднюю энергию электромагнитного поля, если амплитуда вектора  $\vec{E}$  составляет  $1 \text{ В/м}$ .

8.5. Плоская электромагнитная волна распространяется в сухой почве с параметрами: удельная проводимость

$\sigma = 0,0010 \text{ См/м}$ , диэлектрическая относительная проницаемость  $\varepsilon = 4$ . Определить коэффициент затухания, фазовую скорость и длину волны для частоты  $15 \cdot 10^5 \text{ Гц}$ . Найти расстояние, на котором амплитуда поля убывает в  $100$  раз.

8.6. Показать, что заданные выражения не описывают составляющие плоской волны в вакууме:

$$\dot{\vec{E}} = 10e^{-j\omega t}\vec{x}_0, \quad \dot{\vec{H}} = 3 \cdot 10^{-2} e^{-j\omega t}\vec{y}_0.$$

8.7. Записать мгновенное значение вектора Пойнтинга плоской волны, распространяющейся в среде с параметрами  $\omega = 10^7 \text{ рад/с}$ ,  $\varepsilon_a = 2\varepsilon_0$ ,  $\mu_a = \mu_0$ ,  $\sigma = 2 \text{ См/м}$ . Определить моменты изменения направления вектора Пойнтинга волны на противоположное.

8.8. Определить параметры среды без потерь, в которой распространяется волна, если  $E_m/H_m = 40 \text{ Ом}$ ,  $\lambda = 0,25\lambda_0$ ,  $\lambda_0$  — длина волны в вакууме.

8.9. Вычислить коэффициенты затухания для меди и стекла на частотах  $f = 10 \text{ Гц}$ ,  $10^5 \text{ Гц}$ ,  $10^{10} \text{ Гц}$ .  $\sigma_m = 5 \cdot 10^7 \text{ См/м}$ ;  $\sigma_{cm} = 10^{-12} \text{ См/м}$ .

8.10. Определить, на каком расстоянии от источника плотность потока мощности плоской волны уменьшится в  $100$  раз. Параметры среды:  $\varepsilon_a = \varepsilon_0$ ,  $\mu_a = \mu_0$ ,  $\sigma = 10^{-2} \text{ См/м}$ . Рабочая частота  $f = 10^6 \text{ Гц}$ .

8.11. Определить толщину экрана, ослабляющего напряженность поля на  $60 \text{ дБ}$ . Проводимость материала  $\sigma = 10^{-6} \text{ См/м}$ ;  $\mu_a = \mu_0$ ;  $f = 10^6 \text{ Гц}$ .

8.12. Длина волны, распространяющейся в воздухе, составляет  $1 \text{ м}$ . Какова длина волны на той же частоте  $f$  в меди, свинце?  $\sigma_m = 5,6 \cdot 10^7 \text{ См/м}$ ;  $\sigma_{pb} = 0,48 \cdot 10^7 \text{ См/м}$ .

8.13. Плоская электромагнитная волна распространяется в среде с параметрами  $\varepsilon_a = 16\varepsilon_0$ ,  $\mu_a = \mu_0$ ,  $\sigma = 10^{-2} \text{ См/м}$ . Определить, во сколько раз уменьшится амплитуда поля волны на каждые  $10 \text{ м}$  прошедшего расстояния.  $f = 10^5 \text{ Гц}$ .

8.14. Определить, на каком расстоянии от начала координат амплитуда напряженности электрического поля уменьшится до  $0,01$  своего первоначального значения. Параметры среды  $\varepsilon = 10$ ,  $\mu = 1$ ,  $f = 10^8 \text{ Гц}$ ,  $\sigma = 10^{-2} \text{ См/м}$ ,  $E_m(0,0,0) = 5 \cdot 10^{-3} \text{ В/м}$ .

8.15. Плоская электромагнитная волна, распространяющаяся в среде с параметрами  $\varepsilon_a = 4\varepsilon_0$ ,  $\mu_a = \mu_0$ ,  $\sigma = 0$ , падает нормально (рис. 8.5) на плоскую границу раздела с идеальным проводником. Определить плотность поверхностного тока на граничной плоскости.

Амплитуда падающей волны —  $E_m$ .

$$\frac{\varepsilon_a}{\varepsilon_0} = 4\varepsilon_0, \quad \frac{\mu_a}{\mu_0} = \mu_0, \quad \frac{\sigma}{\sigma_0} = \infty$$

Рис. 8.5

8.16. Волна, поляризованная по кругу, падает на границу двух диэлектриков. Чему равняется отношение волновых сопротивлений сред, если отраженная волна линейно поляризована, а угол падения  $\phi = 30^\circ$ ? Записать выражение для отраженной волны.

8.17. Плоская параллельно поляризованная волна, распространяющаяся в воздухе, падает под углом  $\pi/4$  на плоскую границу раздела с идеальным проводником (рис. 8.6). Определить плотность поверхности

стного тока на граничной плоскости. Амплитуда падающей волны  $\vec{E}_m$ .

8.18. Глосская нормально поляризованная электромагнитная волна, распространяющаяся в среде с параметрами  $\varepsilon_0, \mu_0$ , падает под углом  $45^\circ$  на плоскую границу раздела с идеальным проводником (рис. 8.7). Определить плотность поверхностного тока на граничной поверхности, если амплитуда падающей волны  $\vec{E}_m$ .

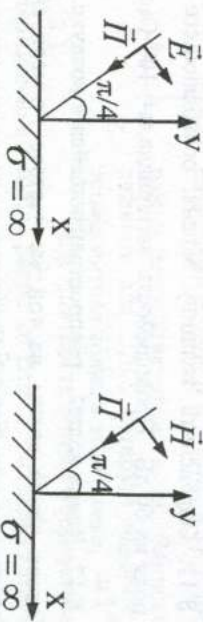


Рис. 8.6

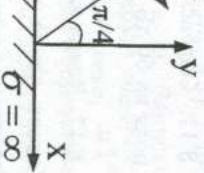


Рис. 8.7

8.19. В свободном пространстве заданы мгновенные значения векторов электромагнитного поля:  $\vec{H} = H_0 \cos(\omega t - kz) \vec{x}_0$ ;  $\vec{E} = -120\pi H_0 \cos(\omega t - kz) \vec{y}_0$ . Записать выражение для мгновенного значения вектора Пойнтинга и найти его среднее значение за период колебания, если  $H_0 = 2 \text{ A/m}$ .

8.20. Определить глубину проникновения плоской волны с частотой  $f = 10^5 \text{ Гц}$  в серебро ( $\sigma = 6,14 \cdot 10^7 \text{ См/м}; \mu_a = \mu_0$ ). Определить длину волны, фазовую скорость, коэффициент затухания и коэффициент фазы волны.

8.21. Определить, во сколько раз уменьшится амплитуда плоской волны с частотой  $f = 2 \cdot 10^6 \text{ Гц}$  при распространении ее в среде с параметрами  $\sigma = 10^{-3} \text{ См/м}, \varepsilon_a = 2, \mu_a = 1$  на расстоянии в 1 м.

8.22. В среде с относительной магнитной проницаемостью  $\mu = 1$  найти  $\varepsilon$  и  $\sigma$ , если в этой среде  $\vec{E} = 30\pi \exp\left(j\left(\omega t - \frac{4}{3}y\right)\right) \vec{x}_0 \text{ В/м}$ ;

$$\vec{H} = 1,0 \exp\left(j\left(\omega t - \frac{4}{3}y\right)\right) \vec{x}_0 \text{ А/м.}$$

8.23. В свободном пространстве вектор магнитной индукции

$\vec{B} = B_m e^{j(\omega t + kz)} \vec{y}_0$ . Используя второе уравнение Максвелла (закон электромагнитной индукции Фардаля), показать, что

$$\vec{E} = -\frac{\omega}{k} B_m e^{j(\omega t + kz)} \vec{x}_0.$$

8.24. В неограниченном пространстве с параметрами  $\mu = 1, \varepsilon = 50$  вектор  $\vec{E} = 20\pi e^{j(\omega t - kz)} \vec{x}_0$ , вектор  $\vec{B} = \mu_0 H_m e^{j(\omega t - kz)} \vec{y}_0$ . Найти  $\omega$  и  $H_m$ , если длина волны  $\lambda = 1,78 \text{ м}$ .

8.25. В свободном пространстве задан вектор  $\vec{E} = E_m \sin(\omega t - kz) \vec{y}_0$ . Используя второе уравнение Максвелла, найти вектор  $\vec{H}$ . Изобразить  $\vec{E}$  и  $\vec{H}$  при  $t = 0$ .

8.26. В свободном пространстве с проводимостью  $\sigma = 0$  известно поле  $\vec{H} = H_m e^{j(\omega t + kz)} \vec{x}_0$ . Используя первое уравнение Максвелла, найти электрическое поле  $\vec{E}$ .

8.27. В свободном пространстве задан вектор  $\vec{D} = D_m \sin(\omega t + kz) \vec{x}_0$ . Используя уравнение Максвелла, показать, что вектор магнитной индукции  $\vec{B} = -\frac{\omega \mu_0 D_m}{k} \sin(\omega t + kz) \vec{y}_0$ .

8.28. В свободном пространстве в направлении оси  $z$  распространяется плоская волна с напряженностью  $\vec{E}(z, t) = 40 \cos(\omega t - kz) \vec{x}_0 \text{ В/м}$ . Найти среднее значение вектора Пойнтинга и его поток через площадку радиусом 3,0 м, перпендикулярную к оси  $z$ .

8.29. Найти фазовую скорость, коэффициент распространения, а также глубину проникновения волны в алюминий на частоте  $f = 1,6 \text{ МГц}$ , если  $\mu = 1, \sigma = 38,2 \cdot 10^6 \text{ См/м}$ .

8.30. В среде с параметрами  $\varepsilon = 4, \mu = 1, \sigma = 0$  распространяется плоская электромагнитная волна, комплексная амплитуда вектора напряженности электрического поля которой в плоскости  $z = 0$   $\vec{E} = 0,5 \vec{x}_0 + 0,2 \vec{y}_0$ . Определить комплексную амплитуду вектора напряженности магнитного поля, если  $z > 0$ .

8.31. Определить постоянную распространения плоской волны,

распространяющейся в среде с параметрами  $\varepsilon = 8$ ,  $\mu = 1$ ,  $\sigma = 0,25 \cdot 10^{-12} \text{ См/М}$ , если частота волны  $f = 1,6 \text{ МГц}$ .

8.32. Плоская электромагнитная волна с электрической составляющей  $E_0, \mu_0$  в направлении распространения  $Z$  (рис. 8.8). Плоскость  $\sigma=0$  (рис. 8.8) содержит волну с медной средой ( $\sigma_m = f = 100 \text{ МГц}$ ) падает из свободного пространства на медную среду ( $\sigma_m = 58 \cdot 10^6 \text{ См/М}$ ) в направлении  $z > 0$  (рис. 8.8). Оценить затухание волны в проводнике (в %) на расстоянии глубины проникновения  $d$  и  $5d$ .

8.33. Определить длину волны  $\lambda$  и фазовую скорость  $v_\phi$  электромагнитной волны, распространяющейся в среде без потерь с  $\varepsilon = \mu = 10$ , если  $f = 10 \text{ МГц}$ .

8.34. Вычислить фазовую скорость, коэффициент затухания и глубину проникновения для плоской волны, распространяющейся с частотой  $10 \text{ МГц}$  в металле с параметрами  $\sigma = 5 \cdot 10^7 \text{ См/М}$ ,  $\mu = 1$ ,  $\varepsilon = 1$ .

8.35. В волне, распространяющейся в свободном пространстве с фазовой постоянной  $30 \text{ рад/м}$  в направлении оси  $(-\vec{z}_0)$ , известна амплитуда вектора  $H = \frac{1}{3\pi} \text{ А/м}$ . Записать выражения для мгновенных значений векторов  $\vec{E}$  и  $\vec{H}$ , если при  $t = 0$  и  $z = 0$  вектор  $\vec{H}$  направлен по оси  $(-\vec{y}_0)$ . Определить частоту и длину волны.

Ответы

Глава 1. Векторы

- 1.4.  $41,9^\circ$ ; 1.6.  $4x^2 - y^2 = 15$ ; 1.9.  $\vec{r}_0$ ; 1.10.  $-\frac{x\vec{x}_0 + y\vec{y}_0 + z\vec{z}_0}{(x^2 + y^2 + z^2)^{3/2}}$ ; 1.13.  $5,4\vec{x}_0 + 7,3\vec{y}_0 - 4\vec{z}_0$ ; 1.14.  $\vec{A}$ ; 1.15.  $\sqrt{149}$ ; 1.16.  $\sqrt{165}$ ; 1.17.  $\sqrt{26}$ ; 1.18.  $2x + z$ ; 1.19. 300; 1.20.  $-e^{-0,5r}$ ; 0; 1.21. 10;

- 1.22.  $-3,5$ ; 1.23.  $-1 - \sin \varphi$ ; 1.24. 0; 1.25.  $-8,84 \cdot 10^{-2}$ ; 1.26. 4Z; 1.27. 5; 1.28.  $-r$ ; 1.29. 24,14; 1.30. 7; 1.31. 3  $- 2y$ ; 1.32.  $-8$ ; 1.33. 5; 1.34. 4;

$$1.35. -2,6; 1.36. \frac{10}{r}(2 + \cos \theta); 1.37. 3 + r; 1.38. 1,25;$$

$$1.39. 4r \sin \theta + \frac{13\varphi}{r} \operatorname{ctg} \theta; 1.40. 20 + r, 0; 1.41. 8e^{-10r} \operatorname{ctg} \theta;$$

$$1.42. \bar{A}\bar{r}/r; 1.44. 36\pi; 1.45. 20\pi; 1.46. 3\pi a^2 h; 1.47. 80/3; 1.48. 129,4; 1.49. 75\pi; 1.50. 589,1; 1.51. 800\pi; 1.52. 4; 1.54. 4\pi a^3;$$

$$1.55. 2\pi a; 1.56. 0; 1.57. 0; 1.58. 0; 1.59. 3; 1.60. (2yz - x^2)\vec{x}_0 + 2xz\vec{z}_0;$$

$$1.61. \vec{x}_0 - \vec{y}_0 - \vec{z}_0; 1.62. 0; 1.63. 0,5\vec{z}_0; 1.64. -2,5\vec{r}_0 - 0,34\vec{z}_0;$$

$$1.65. 16e^{-10r}(1 - 5r)\vec{\varphi}_0; 1.66. 5\vec{\varphi}_0; 1.67. 4,33\vec{r}_0 - 2,5\vec{\theta}_0 + 1,25\vec{\varphi}_0; 1.68. -5\vec{r}_0; 1.70. 0; 1.71. 3; 1.73. 0,368\vec{r}_0 + 0,23\vec{z}_0; 1.74. 0.$$

Глава 2. Основные характеристики электромагнитного поля: заряды, электрические токи, векторы

## Глава 4. Границные условия

$$2.28. \frac{\rho_s h}{2\varepsilon_0} \left( -\frac{1}{\sqrt{a^2 + h^2}} + \frac{1}{h} \right) \vec{z}_0; 2.29. 13,5 \left( \frac{\vec{x}_0 + \vec{z}_0}{\sqrt{2}} \right) \text{H};$$

$$2.30. 0,465 \left( \frac{-3\vec{x}_0 - 7\vec{z}_0}{\sqrt{58}} \right) \text{H}; 2.31. \frac{4\pi\rho b^3}{3\varepsilon_0};$$

$$2.32. -800\pi, -1600\pi, -1600\pi.$$

Глава 3. Система уравнений Максвелла

$$3.1. \delta_0/4a^2; 3.3. \mathcal{E} = -\mu_0 H_0 \omega \cos \omega t \cdot a^2;$$

$$3.5. \mathcal{D} = -\mu_0 H_0 \nu \sin \alpha; 3.6. \vec{H} = (I/2\pi r) \vec{y}_0;$$

$$3.7. \delta_{ca} = \frac{\varepsilon_0 \nu v}{(d_0 - vt)^2}; I = \frac{\varepsilon_0 \nu v s}{(d_0 - vt)^2}; 3.8. t = \frac{\varepsilon_0}{\sigma} \ln 2;$$

$$3.9. \mathcal{D} = N \mu_0 H_0 \sin \omega t \cdot \omega; 3.10. \rho = 3 \bar{k} \text{ при } 0 \leq r \leq a;$$

$$\rho = 0 \text{ при } a < r \leq \infty; 3.11. \rho = \varepsilon_0 k (2x + 3y^2); 3.12. \vec{E} = -\vec{z}_0;$$

$$3.13. k = \omega \sqrt{\varepsilon_a \mu_a}; \frac{E_0}{H_0} = \sqrt{\frac{\mu_a}{\varepsilon_a}}; 3.14. \Delta \phi = 1,5 \cdot 10^{-4} \text{ B};$$

$$3.15. f = 11,4 \cdot 10^{14} \text{ Гц}; 3.16. \mathcal{D} = -\frac{\mu_0 l a v}{2\pi} \left[ \frac{1}{r_0 + vt + b} - \frac{1}{r_0 + vt} \right] N;$$

$$3.19. \mathcal{D} = \frac{5\mu_0 I_0 b \sin \omega t \cdot \omega}{\pi} \ln \frac{r+a}{r}; 3.20. \mathcal{D} = \frac{B \omega l^2}{2};$$

$$3.22. I_{ca} = 0,1 \cdot 10^{-6} \text{ A}; 3.23. I = 8/\pi \text{ A}; 3.24. \vec{\delta} = \frac{I}{\pi a^2} \vec{z}_0 \text{ при } r \leq a;$$

$$\vec{\delta} = 0 \text{ при } r > a; 3.25. E_r = 0,0042 \text{ В/м}; 3.26. I_{max} = 39,5 \cdot 10^{-6} \text{ А};$$

$$i = I_{max} \sin \omega t; 3.27. \mathcal{D} = 21,3 \cdot 10^{-6} \text{ В}; 3.28. \rho = -e^{-0,5r} \text{ при } 0 < r \leq 2;$$

$$\rho = 0 \text{ при } r > 2; 3.29. \mathcal{D} = -0,02 \sin 10^3 t \text{ В}; 3.30. \rho = 40e^{-2r};$$

$$3.31. \delta = 1250 \sin 10^10 t \text{ А/м}^2; \delta_{ca} = 22,1 \cos 10^{10} t \text{ А/м}^2; f = 89,9 \cdot 10^9 \text{ Гц}.$$

## Глава 5. Теорема Пойнтинга

$$4.2. y = cx; 4.3. B_1 = B_2 \sqrt{\sin^2 \alpha_2 (\mu_{a1}/\mu_{a2})^2 + \cos^2 \alpha_2};$$

$$\alpha_1 = \arctg [(\mu_{a1}/\mu_{a2}) \operatorname{tg} \alpha_2]; 4.7. \rho_s = \varepsilon_0 A; 4.10. \varepsilon_{a2} = \varepsilon_{a1} \sin^2 \varphi_1;$$

$$4.11. I = 0,6 \text{ А}; 4.16. H_r = 0,25 \cdot 10^{-16} \text{ А/м};$$

$$4.17. \vec{D}_2 = \varepsilon_0 (10\vec{x}_0 - 15\vec{y}_0 + 10\vec{z}_0); \alpha_1 = 54,2^\circ; \alpha_2 = 29^\circ;$$

$$4.18. H_2 = 7,12 \text{ А/м}; \alpha_2 = 70,3^\circ; 4.19. \vec{E}_2 = -3\vec{x}_0 + 4\vec{y}_0 - 6\vec{z}_0;$$

$$4.20. \mu_2 = 5,57; \vec{H}_2 = (1/\mu_0)(0,2\vec{x}_0 + 0,5\vec{y}_0 + 0,54\vec{z}_0);$$

$$4.21. \vec{H}_1 = 5,5\vec{x}_0 + 6\vec{z}_0; 4.22. \vec{\delta}_s = (1/\mu_0)(3,72\vec{y}_0 - 9,28\vec{z}_0);$$

$$4.23. \vec{E}_2 = (1/\varepsilon_0)(1,25\vec{x}_0 - 4\vec{y}_0 + 6\vec{z}_0); \theta_1 = 22,6^\circ; \theta_2 = 9,83^\circ;$$

$$4.24. \theta_2 = 8,13^\circ; 4.25. \vec{E}_2 = -3\vec{x}_0 + 4\vec{y}_0 - 0,5\vec{z}_0;$$

$$4.26. \vec{D}_2 = 5\varepsilon_0 (2\vec{x}_0 - 3\vec{y}_0 + 2\vec{z}_0); \theta_1 = 54,2^\circ; \theta_2 = 29^\circ;$$

$$4.27. \vec{H}_2 = (1/\mu_0)(8\vec{x}_0 + 5,3\vec{y}_0 + 40\vec{z}_0) \cdot 10^{-2}; \alpha_1 = 74,5^\circ; \alpha_2 = 13,5^\circ;$$

$$4.28. \varphi_2 = \arctg [\varepsilon_2 / \varepsilon_1] \operatorname{tg} \varphi.$$

## Глава 6. Электростатическое поле

$$5.4. r = 2 \text{ м}; 5.5. \omega^m = \mu_0 \delta^2 a^2 / 32; 5.17. \vec{H} = -3\vec{x}_0 + 2\vec{z}_0;$$

$$5.18. \Pi = 9,95 \cdot 10^{-6} \text{ Вт/м}^2;$$

$$5.19. \dot{\vec{H}} = -2,73 \cdot 10^{-3} e^{j0,5r} \vec{x}_0 - 1,785 \cdot 10^{-3} e^{j1,8} \vec{y}_0;$$

$$\dot{\vec{H}}_{op} = -2,397 \cdot 10^{-3} \vec{x}_0 + 0,405 \cdot 10^{-3} \vec{y}_0; 5.23. E = 1940 \text{ В/м};$$

$$H = 5,15 \text{ А/м}.$$

$$6.3. r = 9 \cdot 10^9 \text{ м}; 6.4. \vec{E}_1 = \rho_0 r^2 \vec{r}_0 / 4a\varepsilon_a; \vec{D}_1 = \rho_0 r^2 \vec{r}_0 / 4a;$$

$$\vec{E}_2 = \rho_0 a^3 \vec{r}_0 / 4r^2 \varepsilon_0; \vec{D}_2 = \rho_0 a^3 \vec{r}_0 / 4r^2;$$

- 6.6.  $C = \frac{2\pi}{\frac{1}{\ln \frac{r_2}{r_1}} + \frac{1}{\ln \frac{r_3}{r_2}}}$ ; 6.7.  $\varphi = \frac{q}{4\pi\varepsilon_a \sqrt{a^2 + z^2}}$ ;
- $$\mathcal{E}_{a1} = \frac{qz\vec{z}_0}{(a^2 + z^2)^{3/2}}; \quad 6.8. \quad E = \frac{q}{2\pi a^2 \varepsilon_a} \left[ 1 - \frac{z}{\sqrt{a^2 + z^2}} \right];$$
- $$\varphi = \frac{q}{2\pi a^2 \varepsilon_a} \left[ \sqrt{a^2 + z^2} - z \right];$$
- 6.12.  $\varphi = \frac{\tau}{4\pi\varepsilon_0} \ln \frac{\sqrt{d^2 + (l-b)^2} + (l-b)}{\sqrt{d^2 + b^2} - b}$ ; 6.13.  $\rho_s = -\frac{qh}{2\pi r^3}$ ;
- 6.15.  $W = 27 \text{ Дж}; \quad 6.16. \quad \rho = -\frac{qe^{-r/a}}{ra^2} \varepsilon_a; \quad 6.17. \quad W = \frac{q^2}{8\pi a} \left[ \frac{1}{5\varepsilon_a} + \frac{1}{\varepsilon_0} \right];$
- 6.19.  $\varphi = 35,6 \text{ В}; \quad 6.20. \quad \varphi_1 = 49,7 \text{ В}; \quad \varphi_2 = 60 \text{ В}; \quad 6.21. \quad W = 147 \cdot 10^{-12} \text{ Дж};$
- 6.22.  $W = 0,224 \text{ Дж}; \quad 6.23. \quad E_1 = \frac{\rho r}{3\varepsilon_a}; \quad \varphi_1 = -\frac{\rho r}{6\varepsilon_a} + const;$
- $$E_2 = \frac{q}{4\pi\varepsilon_a r^2}; \quad \varphi_2 = \frac{q}{4\pi\varepsilon_a r} + const; \quad 6.25. \quad \varphi_1 - \varphi_2 = \frac{\tau}{2\pi\varepsilon_0} \ln \frac{r_2}{r_1};$$
- 6.26.  $W = 2\pi\varepsilon_0\varphi_0^2 a; \quad Q = 4\pi\varepsilon_0\varphi_0 a; \quad 6.27. \quad \vec{E} = \frac{\rho_s}{2\varepsilon_0} \vec{z}_0;$
- 6.28.  $\vec{D} = \frac{798 \cdot 10^{-12}}{r} \vec{r}_0 \text{ К/м}^2; \quad 6.29. \quad \varphi = 100 \text{ В};$
- 6.30.  $\varphi = 50,1 \ln r + 345,9 \text{ В}; \quad \vec{E} = \frac{50,1}{r} (-\vec{r}_0) \text{ В/м}; \quad 6.31. \quad \varphi = 200 \text{ В};$
- $\rho_s = 266 \cdot 10^{-9} \text{ К/м}^2; \quad 6.32. \quad \varphi = -250 \text{ В}; \quad 6.33. \quad \vec{E} = -10,53 \vec{r}_0 / r^2 \text{ В/м};$
- $\vec{D} = -9,32 \cdot 10^{-11} \vec{r}_0 / r^2; \quad 6.34. \quad \vec{D} = \frac{2,5}{r} \left[ \frac{1}{2} - e^{-2r} \left( r^2 + r + \frac{1}{2} \right) \right] \vec{r}_0 \text{ КН/м}^2;$
- 6.35.  $\varphi_2 - \varphi_1 = 125,5 \text{ В}; \quad 6.36. \quad \varphi = -\left( \rho r^2 / 4\varepsilon_a \right) + A \ln r + B;$

- 6.37.  $\vec{E} = -3,71 \vec{r}_0 / r^2 \text{ В/м}; \quad \vec{D} = -0,103 \vec{r}_0 / r^2 \text{ нКн/м}^2;$
- 6.38.  $A = -0,392 \text{ Дж}; \quad 6.39. \quad W = 10^{-8} / (36 \cdot \pi) \text{ Дж}; \quad 6.40. \quad W = 1,51 \cdot 10^{-9} \text{ Дж};$
- 6.43.  $\varphi_A - \varphi_B = 8,25 \text{ В}; \quad 6.44. \quad \varphi_A - \varphi_B = -4 \text{ В}; \quad \varphi_{A\infty} = -8 \text{ В};$
- $$\varphi_{B\infty} = -4 \text{ В}; \quad 6.45. \quad E = \frac{1}{4\pi\varepsilon_0} \sqrt{\frac{Q_1^2}{r_1^4} + \frac{2|Q_1||Q_2|}{r_1^2 r_2^2} \cos\alpha + \frac{Q_2^2}{r_2^4}};$$
- $$\varphi = \frac{1}{4\pi\varepsilon_0} \left( \frac{Q_1}{r_1} + \frac{Q_2}{r_2} \right).$$
- Глава 7. Стационарное магнитное поле
- 7.1.  $\vec{H} = \frac{Ia^2 \vec{z}_0}{(a^2 + z^2)^{3/2}}; \quad 7.3. \text{ а)} \quad M_{12} = \frac{\mu_a \pi r_1^2}{2r_1}; \quad 7.7. \quad W = \frac{\mu_a I^2}{16\pi}$
- 7.13.  $M_{21} = \frac{\mu_d t g \alpha}{\pi} \left( a - b \ln \frac{a+b}{b} \right); \quad 7.16. \quad \Phi = 6,44 \text{ Вб};$
- 7.17.  $\Phi = 1,61 \cdot 10^{-6} \text{ Вб}; \quad 7.19. \quad \Phi = 4,24 \text{ Вб}; \quad 7.20. \quad B = 178 \cdot 10^{-6} \text{ Тл};$
- 7.22.  $M = 207,6 \cdot 10^{-6} \text{ Н-м}; \quad 7.23. \quad F = 20 \cdot 10^{-3} \text{ Н}; \quad 7.24. \quad \Phi = 1,59 \text{ Вб}.$
- Глава 8. Плоские электромагнитные волны
- 8.2.  $\mathcal{E} = E_0 a [\cos(\omega t - kb) - \cos\omega t]; \quad 8.3. \quad H_1 = 4 \text{ Вт/м}^2;$
- $H_2 = 16 \text{ Вт/м}^2; \quad 8.8. \quad \varepsilon_a = \frac{1}{10c} \Phi/\text{м}; \quad \mu_a = \frac{160}{c} \Gamma_{\text{Н/м}}; \quad 8.10. \quad Z = 11,5 \text{ м};$
- 8.19.  $\vec{H} = 120\pi H_0^2 \cos^2(\omega t - ky) \vec{j}_0; \quad \vec{H}_{cp} = \frac{1}{2} H_0^2 Z_c \vec{j}_0;$
- 8.20.  $d = 204 \cdot 10^{-6} \text{ м}; \quad \lambda = 1,28 \cdot 10^{-3} \text{ м}; \quad v_\Phi = 128 \text{ м/с}; \quad \alpha = \beta = 49 \cdot 10^2 \text{ 1/м};$
- 8.21. 1,085 раза; 8.25.  $\vec{H} = -\frac{E_m}{Z_c} \sin(\omega t - kz) \vec{j}_0;$
- 8.28.  $\vec{H}_{cp} = \frac{20}{3\pi} \vec{z}_0 \text{ Вт/м}^2; \quad \int_C \vec{H}_{cp} d\vec{s} = 60 \text{ Вт}; \quad 8.29. \quad v_\Phi = 647 \text{ м/с};$
- $k = 2,2 \cdot 10^4 e^{j45^\circ} \text{ 1/м}; \quad d = 64,4 \cdot 10^{-6} \text{ м};$

- 8.30.  $\dot{\vec{H}} = (-1,061\vec{x}_0 + 2,65\vec{y}_0) \cdot 10^{-3}$  А/м; 8.31.  $k = j9,48 \cdot 10^{-2}$  1/м;  
 8.32. 36,8 %, 0,67 %; 8.33.  $\lambda = 3$  м;  $v_\Phi = 3 \cdot 10^7$  м/с;  
 8.34.  $v_\Phi = 1,414 \cdot 10^3$  м/с;  $\alpha = 44,43 \cdot 10^3$  1/м;  $d = 22,5 \cdot 10^{-6}$  м;  
 8.35.  $f = 1,43$  ГГц;  $\lambda = \pi / 15$  м.

#### БИБЛИОГРАФИЧЕСКИЙ СПИСОК

1. Пименов Ю.В., Вольман В.И., Муравицов А.Д. Техническая электродинамика. – М.: Радио и связь, 2000. – 536 с.  
 2. Семенов И.А. Техническая электродинамика. – М.: Связь, 1973. – 480 с.  
 3. Выгодский М.Я. Справочник по высшей математике. – М.: Издательство физико-математической литературы, 1958. – 783 с.

#### ОГЛАВЛЕНИЕ

Принятые обозначения	1
1. Векторы	3
2. Основные характеристики электромагнитного поля: заряды, электрические токи, векторы	14
3. Система уравнений Максвелла	22
4. Границные условия	29
5. Теорема Пойнтинга	36
6. Электростатическое поле	40
7. Стационарное магнитное поле	49
8. Плоские электромагнитные волны	54
Ответы	62